

## методы отчислений

Лектор: Б. А. Самокиш

10.01.2019

# Оглавление

<b>1</b>	<b>Однородные дифференциальные уравнения</b>	<b>3</b>
§ 1	Краевая задача для ОДУ 2 порядка и сведение к задаче Коши	3
§ 2	Метод дифференциальной прогонки	4
§ 3	Метод прогонки для систем ОДУ	5
1.	Метод начальных данных	5
2.	Метод прогонки,	5
§ 4	Ортогональная прогонка	6
§ 5	Разностный метод для краевой задачи 2 порядка	7
1.	Алгоритм	7
2.	Формулы численного дифференцирования	7
3.	Разностное уравнение	7
4.	Граничные условия	8
5.	Составление системы линейных уравнений	9
§ 6	Метод разностной прогонки	9
§ 7	Лемма об оценке для системы разностных уравнений	10
§ 8	Теорема о сходимости разностного метода	11
§ 9	Жёсткие системы ОДУ	12
1.	Методы численного интегрирования ОДУ	12
2.	Жёсткие системы	13
§ 10	Неявные методы Рунге-Кутты	15
<b>2</b>	<b>Методы линейной алгебры</b>	<b>17</b>
<b>3</b>	<b>Интегральные уравнения</b>	<b>18</b>
§ 1	Интегральное уравнение II рода, метод замены ядра на вырожденное	18
§ 2	Метод квадратур для интегрального уравнения	22
§ 3	Вариационный принцип для ограниченного оператора; метод Ритца для интегрального уравнения II рода	23
§ 4	Интегральное уравнение I рода и его некорректность	25
§ 5	Условная корректность по Тихонову, метод квазирешений	26
§ 6	Метод регуляризации для уравнения I рода, сходимость	27
<b>4</b>	<b>Вариационные методы</b>	<b>29</b>
§ 1	Вариационный принцип для уравнения с неограниченным оператором	29
§ 2	Метод Ритца, сходимость	29
§ 3	Метод Ритца для обычной краевой задачи, вид энергетического пространства, естественные граничные условия	30
§ 4	ВРМ-1 для обычной краевой задачи	32
§ 5	ВРМ-2 для обычной краевой задачи	33
§ 6	Метод Ритца для эллиптического уравнения, энергетическое пространство и естественные условия	34
<b>5</b>	<b>Уравнения в частных производных</b>	<b>36</b>
§ 1	Разностный метод для общего уравнения теплопроводности, явная схема	36

<b>A</b>	<b>Введение в функциональный анализ</b>	<b>38</b>
§ 1	Пространства, отображения	38
§ 2	Пара фактов про гильбертовы пространства	38
§ 3	Спектр оператора	39
§ 4	Компактные операторы	40
§ 5	Спектры компактных операторов	40
§ 6	Альтернатива Фредгольма	41
<b>B</b>	<b>Обозначения</b>	<b>42</b>

# 1 Однородные дифференциальные уравнения

## § 1. Краевая задача для ОДУ 2 порядка и сведение к задаче Коши

Определение 1. Рассмотрим ОДУ 2 порядка

$$y'' + p(x)y' + q(x)y = f(x) \quad y \in C^2([a; b])$$

и 3 варианта условий на  $y$

I  $y(a) = A, \quad y(b) = B$

II  $y'(a) = A, \quad y'(b) = B$

III  $y'(a) = \alpha y(a) + A, \quad y'(b) = \beta y(b) + B$

Если  $y$  — решение для которого выполнено какое-то из условий выше, то  $y$  — решение граничной задачи.

Определение 2 (Однородная краевая задача). Положим  $f \equiv 0$  в 1.1.1.

Определение 3 (Однородные граничные условия). Положим  $A = B = 0$  в граничных условиях в 1.1.1

Теорема 1 (об альтернативе). Рассмотрим однородную граничную задачу с однородными граничными условиями. Пусть  $y_H$  — решение однородной задачи.

Тогда

1.  $y_0 \equiv 0$  — единственное решение однородной задачи  $\Rightarrow$  неоднородная краевая задача имеет единственное решение
2.  $y_0 \equiv 0$  — неединственное решение однородной задачи  $\Rightarrow$  неоднородная краевая задача имеет бесконечно много или не имеет решений вовсе

□ Рассмотрим решение неоднородной краевой в виде  $y(x) = y_0(x) + c_1 y_1(x) + c_2 y_2(x)$  и подставить граничные условия, а дальше все следует из линейной алгебры. ■

Разберёмся как численно найти  $y_0, y_1, y_2$ , потребовавшиеся в предыдущем доказательстве. Будем считать что  $p, q, f$  определены на  $I \ni [a; b]$ , так что  $y$  можно продолжить на  $(a - \varepsilon; b + \varepsilon)$ .

1.  $y(a) = 0, y'(a) = 0$ . Поскольку 0 явно решение однородной задачи, то что мы найдем будет как раз частным решением неоднородной задачи (Коши!).
2.  $y_H(a) = 1, y'_H(a) = 0$  и решаем мы тут однородную задачу (Коши!). Будем считать то что нашлось  $y_1$
3.  $y_H(a) = 0, y'_H(a) = 1$ . Скажем что это  $y_2$ . Здесь важно заметить про линейную независимость  $y_1$  и  $y_2$ . Найдем определитель Вронского в точке  $a$

$$W = \begin{vmatrix} y_1(a) & y_2(a) \\ y'_1(a) & y'_2(a) \end{vmatrix} = \begin{vmatrix} 1 & 0 \\ 0 & 1 \end{vmatrix} = 1 \neq 0$$

А тогда он нигде не ноль. А значит  $y_1$  и  $y_2$  линейно независимы.

Всё это называется *методом начальных данных* для решения краевой задачи.

В рассуждении выше можно было бы взять другие начальные данные дабы упростить себе жизнь. Ведь никто не запрещает записать, например, кусок  $y_2$  в  $y_0$  (если мы уже знаем правильное  $c_2$ ). Нам просто были нужны какие-то линейно независимые решения однородной задачи.

Рассмотрим граничную задачу в форме III

1.  $y(a) = 0, y'(a) = A$ , нашли  $y_0$ .
2.  $y_H(a) = 1, y'_H(a) = \alpha$ , нашли  $y_1$ .
3.  $y_H(a) = 0, y'_H(a) = 0$ . Мы просто решили что  $y_2 \equiv 0$ . Эту ЗК мы даже не решаем, а сразу знаем ответ.

При таком раскладе  $y(x) = y_0(x) + c_1 y_1(x)$ . Проверим левое граничное условие

$$\begin{aligned} y(a) &= y_0(a) + c_1 y_1(a) = 0 + c_1 \cdot 1 = c_1 \\ y'(a) &= y'_0(a) + c_1 y'_1(a) = A + c_1 \alpha = A + \alpha y(a) \end{aligned}$$

Как видно, всё получилось.

В случае I можно сделать так:

1.  $y(a) = A, y'(a) = 0$ , нашли  $y_0$ .
2.  $y_H(a) = 0, y'_H(a) = 1$ , нашли  $y_1$ .

Как видно, свободы в выборе  $c_1$  хватает чтобы разобраться с правой границей.

**Пример 1.**  $y'' - q^2 y = 0, y(0) = 1, y(b) = 1$

⟨✂⟩, а он важный вообще-то, из него необходимость метода прогонки следует.

## § 2. Метод дифференциальной прогонки

Здесь будем решать краевую задачу с граничными условиями в форме III.

Рассмотрим  $\alpha(x), \beta(x)$  : (прогоночные коэффициенты)

$$y'(x) = \alpha(x) y(x) + \beta(x) \quad (1.1)$$

Такая форма напрашивается при вспоминании трюка, который мы делали в прошлом параграфе. Там как раз  $y'(a) = y_0(a) + c_1 y_1(a)$ , а  $c_1 = y(a)$ . Здесь мы пока вводим прогоночные коэффициенты формально, а существование покажем конструктивно.

Найдем уравнения на  $\alpha, \beta$

$$\begin{aligned} y' &= \alpha y + \beta \\ y'' &= \alpha y' + \alpha' y + \beta' \Rightarrow y'' + p y' + q y = f \\ &\Leftrightarrow \alpha y' + \alpha' y + \beta' + p(\alpha y + \beta) + q y = f \\ &\Leftrightarrow y \underbrace{(\alpha^2 + \alpha' + p\alpha + q)}_0 + \underbrace{(\alpha\beta + \beta' + p\beta)}_f = f \end{aligned}$$

В итоге получаем систему ОДУ первого порядка

$$\begin{aligned} \alpha' &= -\alpha^2 - p\alpha - q \\ \beta' &= f - p\beta - \alpha\beta \end{aligned} \quad (1.2)$$

Посмотрим что происходит на правом конце<sup>1</sup>

$$\begin{aligned} y'(b) &= \alpha(b)y(b) + \beta(b) \\ y'(b) &= \beta y(b) + B \end{aligned} \Rightarrow y(b) = \frac{B - \beta(b)}{\alpha(b) - \beta}$$

Сам метод выглядит так:

**прямая прогонка:** решаем систему (1.2) с начальными данными  $\alpha(a) = \alpha, \beta(a) = A$ .

**обратная прогонка:** уже зная  $\alpha(x), \beta(x)$  решаем (1.1) с начальными данными  $y(b) = \frac{B - \beta(b)}{\alpha(b) - \beta}$ .

**Замечание 1.** Рассмотрим однородную задачу с однородными граничными условиями. Тогда (1.1) переходит в  $y'(x) = \alpha(x) y(x)$ . Если при этом  $\exists c \in (a; b) : y(c) = 0 \wedge y'(c) \neq 0$ , то  $\alpha(c)$  не существует. Так что, как видно, не всякое решение краевой задачи можно найти методом прогонки.

<sup>1</sup>а что делать если  $\alpha(b) = \beta$  неясно

### § 3. Метод прогонки для систем ОДУ

Определение 1. Рассмотрим ОДУ

$$\mathbf{y}' = \hat{A}(x)\mathbf{y} + \mathbf{f}(x) \quad \mathbf{y} \in C^2([a; b]), \quad \mathbf{y}: [a; b] \rightarrow \mathbb{R}^s \quad (1.1)$$

и условия вида

$$\begin{aligned} x = a \quad \hat{\alpha}\mathbf{y}(a) &= \boldsymbol{\beta} & \hat{\alpha}: \mathbb{R}^s &\rightarrow \mathbb{R}^p \\ x = b \quad \hat{\gamma}\mathbf{y}(b) &= \boldsymbol{\delta} & \hat{\gamma}: \mathbb{R}^s &\rightarrow \mathbb{R}^q \\ & & s &= p + q \end{aligned}$$

Если  $\mathbf{y}$  — решение для которого выполнено условие выше, то  $\mathbf{y}$  — решение граничной задачи.

**Замечание 1.** Вообще, граничные условия бывают куда более общего вида, но мы их не рассматриваем. То, что у нас — это линейные распадающиеся граничные условия.

А вот так выглядят нераспадающиеся:

$$\hat{\alpha}\mathbf{y}(a) + \hat{\gamma}\mathbf{y}(b) = \boldsymbol{\beta}, \quad \hat{\alpha}, \hat{\gamma}: \mathbb{R}^s \rightarrow \mathbb{R}^s$$

Общее решение задачи Коши 1.1 имеет вид

$$\mathbf{y}(x) = \mathbf{y}_0(x) + \sum_{j=1}^s c_j \mathbf{y}_j(x)$$

где как обычно  $\mathbf{y}_0$  — решение неоднородной задачи Коши, а  $\{\mathbf{y}_j\}$  — фундаментальная система решений однородной.

**1. Метод начальных данных** такой же в §1 — находим из граничных условий  $\{c_j\}$  в общем решении.

Чтобы добыть решения задач Коши можно взять  $\mathbf{y}_j(a) = \mathbf{e}_j$  (это единичный вектор с 1 на  $j$ ом месте),  $\mathbf{y}_0(a) = 0$

Можно снова уменьшить количество работы

1. в качестве начальных данных для  $\mathbf{y}_0$  — какое-нибудь решение системы  $\hat{\alpha}\mathbf{y} = \boldsymbol{\beta}$
2. в качестве начальных данных для  $\mathbf{y}_j$ ,  $j \in p + 1 \dots s - q$  линейно независимых решений  $\hat{\alpha}\mathbf{y} = 0$
3.  $\mathbf{y}_j \equiv 0$ ,  $j \in 1 \dots p$

В итоге решение примет вид

$$\mathbf{y}(x) = \mathbf{y}_0(x) + \sum_{j=p+1}^s c_j \mathbf{y}_j(x)$$

<здесь снова этот понятный кусок про экспоненты и беды вычислений> (✖)

**2. Метод прогонки,** в котором снова зададим  $\hat{\alpha}, \boldsymbol{\beta}$

$$\hat{\alpha}(x)\mathbf{y}(x) = \boldsymbol{\beta}(x), \quad \hat{\alpha}: [a; b] \times \mathbb{R}^s \rightarrow \mathbb{R}^p \quad (1.2)$$

При таком условии  $\forall x :: \mathbf{y}(x) \in M \subset \mathbb{R}^s$ ,  $\dim M = s - p$  (предполагая что  $\text{rk } \hat{\alpha}(x) = p$ )

Найдем уравнения на  $\hat{\alpha}(x), \boldsymbol{\beta}(x)$

$$\begin{aligned} \hat{\alpha}\mathbf{y} &= \boldsymbol{\beta} \\ \hat{\alpha}\mathbf{y}' + \hat{\alpha}'\mathbf{y} &= \boldsymbol{\beta}' \Rightarrow \begin{aligned} \mathbf{y}' &= \hat{A}\mathbf{y} + \mathbf{f} \\ \hat{\alpha}\hat{A}\mathbf{y} + \hat{\alpha}'\mathbf{f} + \hat{\alpha}'\mathbf{y} &= \boldsymbol{\beta}' \\ \Leftrightarrow (\underbrace{\hat{\alpha}\hat{A} + \hat{\alpha}'}_{\boldsymbol{\alpha}_j})\mathbf{y} - \underbrace{\boldsymbol{\beta}'}_{\boldsymbol{\beta}_j} &= -\hat{\alpha}'\mathbf{f} \end{aligned} \end{aligned}$$

Пусть  $\boldsymbol{\alpha}_j$  — строка  $\hat{\alpha}$ . Тогда мы получаем систему ОДУ первого порядка

$$\begin{aligned} \boldsymbol{\alpha}_j' &= -\hat{A}^T \boldsymbol{\alpha}_j \\ \boldsymbol{\beta}_j' &= (\boldsymbol{\alpha}_j, \mathbf{f}) \end{aligned} \quad (1.3)$$

Посмотрим что происходит на правом конце

$$\begin{cases} \hat{\alpha}(b) \mathbf{y}(b) = \beta(b) \\ \hat{\gamma} \mathbf{y}(b) = \delta \end{cases} \quad (1.4)$$

это просто линейная система порядка  $s$  на  $\mathbf{y}(b)$ , решаем и находим.

Сам метод выглядит так:

прямая прогонка: решаем прогоночные уравнения (1.3) с начальными данными  $\hat{\alpha}(a) = \hat{\alpha}$ ,  $\beta(a) = \beta$ .

обратная прогонка: уже зная  $\alpha(x)$ ,  $\beta(x)$  решаем (1.2) с начальными данными  $\mathbf{y}(b)$ , найденным из системы (1.4).

**Замечание 2.** (?) Метод с заменой  $\hat{A}$  на сопряженную в прогоночных уравнениях уже пафосно называется методом *сопряжённых систем*, но ничем кроме названия по сути не отличается.

**Замечание 3.** Вообще, этот метод накладывает слишком жёсткие условия на  $\hat{\alpha}$ ,  $\beta$ . Например крайняя задача из §1 им не решается. Проблема возникает в том месте, где из  $(\hat{\alpha}\hat{A} + \hat{\alpha}') \mathbf{y} = 0$  выводится  $\hat{\alpha}\hat{A} + \hat{\alpha}' = 0$ . Произвольностью  $\mathbf{y}$  мы вообще-то пользоваться не можем, так как на него есть условие  $\hat{\alpha}(x) \mathbf{y}(x) = \beta(x)$ .

**Замечание 4.** У вышеописанного метода есть ещё пара недостатков:

1.  $\alpha'_j = -\hat{A}^T \alpha_j$  отличается от исходной системы только отсутствием неоднородности, так от проблем связанных с потерей точности из-за собственных чисел разного знака в решениях задач Коши мы убежать не смогли.
  2.  $\hat{\alpha}\hat{\alpha}^T$  может быть плохо обусловленной и ища  $\mathbf{y}(b)$  мы потеряем точность.<sup>1</sup>
- Собственно, для того чтобы обойти эти проблемы и нужен §4.

## §4. Ортогональная прогонка

«будем решать немного другую задачу»

Заменим уравнение для  $\hat{\alpha}$  в методе выше.

$$\hat{\alpha}' = -\hat{\alpha}\hat{A} \longrightarrow \hat{\alpha}' = -\hat{\alpha}\hat{A} + \hat{\alpha}\hat{A}\hat{\alpha}^T (\hat{\alpha}\hat{\alpha}^T)^{-1} \hat{\alpha}$$

Крокодил в формуле сверху — ортогональная проекция  $\hat{\alpha}\hat{A}$  на  $\hat{\alpha}$ , а скалярное произведение имеет вид  $(\hat{\alpha}, \hat{\beta}) = \hat{\alpha}\hat{\beta}^T$ . Так что по идее, раз мы проекцию на  $\hat{\alpha}$  вычли,  $(\hat{\alpha}', \hat{\alpha}) = 0$ . Проверим:

$$\hat{\alpha}' \hat{\alpha}^T = -\hat{\alpha}\hat{A}\hat{\alpha}^T + \hat{\alpha}\hat{A}\hat{\alpha}^T (\hat{\alpha}\hat{\alpha}^T)^{-1} \hat{\alpha}\hat{\alpha}^T = -\hat{\alpha}\hat{A}\hat{\alpha}^T + \hat{\alpha}\hat{A}\hat{\alpha}^T = 0$$

Отсюда следует, что  $\frac{d}{dx} (\hat{\alpha}\hat{\alpha}^T) = 0$ , так что матрица  $\hat{\alpha}\hat{\alpha}^T$  постоянна на всём  $[a; b]$

Получим уравнения на прогоночные коэффициенты

$$\begin{aligned} \hat{\alpha}\hat{A}\mathbf{y} + \hat{\alpha}\mathbf{f} + \hat{\alpha}'\mathbf{y} &= \beta' \\ \Leftrightarrow \hat{\alpha}\hat{A}\mathbf{y} + \hat{\alpha}\mathbf{f} - \hat{\alpha}\hat{A}\mathbf{y} + \hat{\alpha}\hat{A}\hat{\alpha}^T (\hat{\alpha}\hat{\alpha}^T)^{-1} \hat{\alpha}\mathbf{y} &= \beta' \end{aligned}$$

В итоге

$$\begin{aligned} \hat{\alpha}' &= -\hat{\alpha}\hat{A} + \hat{\alpha}\hat{A}\hat{\alpha}^T (\hat{\alpha}\hat{\alpha}^T)^{-1} \hat{\alpha} \\ \beta' &= \hat{\alpha}\mathbf{f} + \hat{\alpha}\hat{A}\hat{\alpha}^T (\hat{\alpha}\hat{\alpha}^T)^{-1} \beta \end{aligned} \quad (1.1)$$

Разберёмся что делать с  $(\hat{\alpha}\hat{\alpha}^T)^{-1}$ . Не очень приятно каждый раз искать обратную матрицу.

На левой границе  $\hat{\alpha}(a)\mathbf{y}(a) = \beta(a)$ . Проведём процесс Грамма-Шмидта и ортогонализуем строки  $\hat{\alpha}(a)$ . При этом заменили переменную в исходном уравнении, соответственно поменялись  $\hat{A} \rightarrow \hat{B}$ ,  $\mathbf{f} \rightarrow \mathbf{g}$ . Зато  $\hat{\alpha}(a)\hat{\alpha}(a)^T = I$ . Так что прогоночные уравнения принимают вид

$$\begin{aligned} \hat{\alpha}' &= -\hat{\alpha}\hat{B} + \hat{\alpha}\hat{B}\hat{\alpha}^T \hat{\alpha} \\ \beta' &= \hat{\alpha}\mathbf{g} + \hat{\alpha}\hat{B}\hat{\alpha}^T \beta \end{aligned} \quad (1.2)$$

<sup>1</sup>  $\text{rk } \hat{\alpha}\hat{\alpha}^T \geq 2 \text{rk } \hat{\alpha} - s$  из теоремы Сильвестра о ранге, так что так в одну сторону вроде можно

<sup>2</sup> на самом деле оно несимметрично. Нужно здесь понимать матрицу как набор векторов-строк. Тогда какой-то смысл есть.

Поскольку  $\hat{\alpha}^T$  постоянна на  $[a; b]$  (всюду  $I$ ), то проблем с её плохой обусловленностью в  $x = b$  нет. Правое граничное условие решится.

Судя по всему, это же условие исключает быстрый рост компонент  $\hat{\alpha}$ . Так что обе проблемы из замечания в конце предыдущего параграфа снимаются. <sup>1</sup>

Вышеописанный метод ещё называется методом Абрамова.

## § 5. Разностный метод для краевой задачи 2 порядка

*Предупреждение:* в силу повышенной техничности этого параграфа он написан в соответствующем стиле. Что поделать. Приятного прочтения.

Решать краевую задачу для дифференциального уравнения второго порядка

$$y'' + p(x)y' + q(x)y = f(x) \quad y \in C^2([a; b]) \quad (1.1)$$

### 1. Алгоритм

**Определение 1** (Метод разностной прогонки). Пусть задано дифференциальное уравнение с граничными условиями. Методом разностной прогонки называется следующий алгоритм:

1. Выбор сетки: узлы, шаг (если она равномерная)
2. Построение сеточных уравнений
  - (а) Диффуры в узлах сетки
  - (б) Все производные через конечные разности
3. Решение получившейся линейной системы

Будем дальше всюду считать, что решение задано на  $[a; b]$

$$n \text{ узлов} \quad h = \frac{b-a}{n} \quad x_k = a + kh$$

### 2. Формулы численного дифференцирования

Здесь  $M_n = \max |y^{(n)}(x)|$

$$y'(x) = \frac{y(x+h) - y(x)}{h} + R \quad |R| \leq \frac{hM_2}{2} \quad (1.2)$$

$$y'(x) = \frac{y(x) - y(x-h)}{h} + R \quad |R| \leq \frac{hM_2}{2} \quad (1.3)$$

$$y'(x) = \frac{-y(x+2h) + 4y(x+h) - 3y(x)}{2h} + R \quad |R| \leq \frac{h^2M_3}{3} \quad (1.4)$$

$$y'(x) = \frac{3y(x) - 4y(x-h) + y(x-2h)}{2h} + R \quad |R| \leq \frac{h^2M_3}{3} \quad (1.5)$$

$$y'(x) = \frac{y(x+h) - y(x-h)}{2h} + R \quad |R| \leq \frac{h^2M_3}{6} \quad (1.6)$$

$$y''(x) = \frac{y(x+h) - 2y(x) + y(x-h)}{h^2} + R \quad |R| \leq \frac{h^2M_4}{12} \quad (1.7)$$

Схемы 1.2 и 1.3 называются простейшими.

### 3. Разностное уравнение

$$\frac{y(x_{k+1}) - 2y(x_k) + y(x_{k-1}))}{h^2} + R_1 + p(x_k) \frac{y(x_{k+1}) - y(x_{k-1}))}{2h} + p(x_k) R_2 + q(x_k) y(x_k) = f(x_k)$$

Можно заметить, что  $R_1 + p(x_k) R_2 = O(h^2)$ . Так что можно вместо  $y(x_k)$  получить приближённое решение  $y_k$  (по сути, решение уже совсем другой задачи). Попутно, обозначим

$$p(x_k) = p_k, \quad q(x_k) = q_k, \quad f(x_k) = f_k.$$

Получится

$$\frac{y_{k+1} - 2y_k + y_{k-1}}{h^2} + p_k \frac{y_{k+1} - y_{k-1}}{2h} + q_k y_k = f_k \quad (1.8)$$

<sup>1</sup>про это два слова в Крылове написано и больше нигде нет.



4. Граничные условия будут рассматриваться III типа, но вообще это неважно. Всё равно раскрывать не будем.

#### 1. Трёхточечная односторонняя аппроксимация

$$y'(x) = \frac{-y(x+2h) + 4y(x+h) - 3y(x)}{2h} + O(h^2)$$

Запишем это выражение для границ:

$$\begin{aligned} y'(a) &= \frac{-y(a+2h) + 4y(a+h) - 3y(a)}{2h} + O(h^2) \rightarrow \alpha y_0 + A = \frac{-y_2 + 4y_1 - 3y_0}{2h} \\ y'(b) &= \frac{3y(b) - 4y(b-h) + y(b-2h)}{2h} + O(h^2) \rightarrow \beta y_n + B = \frac{3y_n - 4y_{n-1} + y_{n-2}}{2h} \end{aligned}$$

#### 2. Метод фиктивных узлов

(а) Введём  $y_{-1} = y(a-h)$ ,  $y_{n+1} = y(b+h)$

$$y'(x) = \frac{y(x+h) - y(x-h)}{2h} + O(h^2)$$

Запишем это выражение для границ:

$$\begin{aligned} y'(a) &= \frac{y(a+h) - y(a-h)}{2h} + O(h^2) \rightarrow \alpha y_0 + A = \frac{y_1 - y_{-1}}{2h} \\ y'(b) &= \frac{y(b+h) - y(b-h)}{2h} + O(h^2) \rightarrow \beta y_n + B = \frac{y_{n+1} - y_{n-1}}{2h} \end{aligned}$$

Как правило, решение можно продолжить с отрезка на интервал побольше, подберём  $h$ :  $y(a-h) \in I \wedge y(b+h) \in I$ . Так что такой метод имеет смысл.

(б) Сдвинем сетку на  $h/2$ ,  $x_0 = a - h/2$ ,  $x_{n+1} = b + h/2$

$$x_k = a - h/2 + kh \quad k = 0, 1 \dots n+1$$

Значения в узлах сетки при этом придётся вводить с помощью интерполяции

$$y(a) = \frac{y(a-h/2) + y(a+h/2)}{2}$$

Сами выражения для производной имеют вид

$$y'(x) = \frac{y(x+h/2) - y(x-h/2)}{h} + O(h^2)$$

Запишем это выражение для границ:

$$\begin{aligned} y'(a) &= \frac{y(a+h/2) - y(a-h/2)}{h} + O(h^2) \rightarrow \alpha \frac{y_0 + y_1}{2} + A = \frac{y_1 - y_0}{h} \\ y'(b) &= \frac{y(b+h/2) - y(b-h/2)}{h} + O(h^2) \rightarrow \beta \frac{y_{n+1} + y_n}{2} + B = \frac{y_{n+1} - y_n}{h} \end{aligned}$$

Такой подход не очень удобен если нужны значения в узлах. Придётся уменьшать шаг в 2 раза.

#### 3. Использование ДУ для исключения главного члена простейшей формулы

$$y'(x) = \frac{y(x+h) - y(x)}{h} + R, \quad R = O(h)$$

Теперь запишем разложение в ряд Тейлора:

$$y(x+h) = y(x) + hy'(x) + \frac{h^2}{2}y''(x) + O(h^3) \Leftrightarrow y'(x) = \frac{y(x+h) - y(x)}{h} - \frac{h}{2}y''(x) + O(h^2)$$

Из исходного уравнения (1.1) подстановкой простейшей формулы получаем

$$\begin{aligned} y''(x) &= -(p(x)y'(x) + q(x)y(x)) + f(x) = -\left(p(x)\frac{y(x+h)-y(x)}{h} + p(x)O(h) + q(x)y(x)\right) + f(x) \\ \Rightarrow -\frac{h}{2}y''(x) &= \frac{p(x)}{2}(y(x+h) - y(x)) + \frac{h}{2}(q(x)y(x) - f(x)) + O(h^2) \end{aligned}$$

Оценка производной на краю

$$\begin{aligned} y'(a) &= \frac{y(a+h) - y(a)}{h} + \frac{p(a)}{2}(y(a+h) - y(a)) + \frac{h}{2}(q(a)y(a) - f(a)) + O(h^2) \\ y'(b) &= \frac{y(b) - y(b-h)}{h} - \frac{p(b)}{2}(y(b) - y(b-h)) - \frac{h}{2}(q(b)y(b) - f(b)) + O(h^2) \end{aligned}$$

На сетке оно имеет вид

$$\begin{aligned} \alpha y_0 + A &= \frac{y_1 - y_0}{h} + \frac{p_0}{2}(y_1 - y_0) + \frac{h}{2}(q_0 y_0 - f_0) \\ \beta y_n + B &= \frac{y_n - y_{n-1}}{h} - \frac{p_n}{2}(y_n - y_{n-1}) - \frac{h}{2}(q_n y_n - f_n) \end{aligned}$$

## 5. Составление системы линейных уравнений

$$\begin{aligned} c_0 y_1 - b_0 y_0 &= d_0 \\ c_k y_{k+1} - b_k y_k + y_{k-1} a_k &= d_k, \quad k = 1 \dots n-1 \\ -b_n y_n + a_n y_{n-1} &= d_n \end{aligned} \quad (1.9)$$

Из разностного уравнения (1.8) можно найти  $a_k, c_k, b_k, d_k$

$$a_k = 1 - \frac{h}{2} p_k \quad b_k = 2 - h^2 q_k \quad c_k = 1 + \frac{h}{2} p_k \quad d_k = h^2 f_k$$

Явные выражения для  $a_0, b_0, c_0, d_0$  и  $a_n, b_n, c_n, d_n$  зависят от способа учета граничных условий. Разве что  $a_0 = 0 \wedge c_0 = 0$ . Оставим остальные читателям из Беларуси в качестве упражнения.

## § 6. Метод разностной прогонки

Вспомним систему линейную систему 1.9. Её матрица, как видно чуть ниже, трёхдиагональная.

$$\begin{pmatrix} -b_0 & c_0 & & & 0 \\ a_1 & -b_1 & c_1 & & \\ & \ddots & \ddots & \ddots & \\ & & a_{n-1} & -b_{n-1} & c_{n-1} \\ 0 & & & a_n & -b_n \end{pmatrix}$$

Такие СЛУ можно решать не за  $O(n^3)$ , а за  $O(n)$ . Опишем, как именно.

Преобразуем систему: уберём поддиагональ, на самой диагонали оставим всюду 1. Тогда можно написать прогоночное соотношение, очень похожее на такое же для дифференциальной прогонки (в § 2).

$$y_k = \alpha_k y_{k+1} + \beta_k \quad (1.1)$$

Свяжем  $\alpha, \beta$  с  $a, b, c, d$ .

$$\begin{aligned} \begin{cases} y_{k-1} = \alpha_{k-1} y_k + \beta_{k-1} \\ a_k y_{k-1} - b_k y_k + c_k y_{k+1} = d_k \end{cases} &\Rightarrow a_k \alpha_{k-1} y_k + a_k \beta_{k-1} - b_k y_k + c_k y_{k+1} = d_k \\ &\Leftrightarrow y_k = \frac{c_k}{b_k - a_k \alpha_{k-1}} y_{k+1} + \frac{a_k \beta_{k-1} - d_k}{b_k - a_k \alpha_{k-1}} \end{aligned}$$

Отсюда получаются удобные рекурсивные соотношения для  $\alpha_k, \beta_k$

$$\alpha_k = \frac{c_k}{b_k - a_k \alpha_{k-1}}; \quad \beta_k = \frac{a_k \beta_{k-1} - d_k}{b_k - a_k \alpha_{k-1}} \quad (1.2)$$

Начальные значения  $\alpha_k, \beta_k$  легко определяются из линейной системы на  $a_k, b_k, c_k, d_k$  (1.9).

Итак, алгоритм, следующий

прямая прогонка: решаем прогоночные уравнения (1.2) с начальными данными  $\alpha_0 = \frac{c_0}{b_0}, \beta_0 = -\frac{d_0}{b_0}$ .

обратная прогонка: уже зная  $\alpha_k, \beta_k$  решаем прогоночное соотношение (1.1) с начальными данными  $y_n = \beta_n (c_n = 0 \Rightarrow \alpha_n = 0)$ .

Как видно, что прямая, что обратная прогонка имеют асимптотику  $O(n)$ , что не может не радовать. Теперь подумаем над корректностью метода.

## § 7. Лемма об оценке для системы разностных уравнений

**Утверждение 1** (Достаточное условие). Пусть  $\forall k :: a_k, c_k > 0 (c_n, a_0 = 0)$ , и СЛУ имеет диагональное преобладание:  $b_k \geq a_k + c_k$ .

Тогда если  $\exists k : b_k > a_k + c_k$  прогоночные уравнения 1.2 разрешимы

► Проблемы у нас возникнут только если знаменатели обратятся в 0. Учитывая диагональное преобладание, это эквивалентно  $\alpha_{k-1} \geq 1$ .

(!)  $0 < \alpha_{k-1} \leq 1$  (по индукции)

база:  $\alpha_0 = \frac{c_0}{b_0}, b_0 \geq c_0 > 0, c_0 \leq b_0$ . Кажется, все верно.<sup>1</sup>

переход: Знаем что  $\alpha_{k-1} \leq 1$ . Так что из условий теоремы

$$b_k - \alpha_{k-1}a_k \geq b_k - a_k \geq c_k > 0 \Rightarrow 0 < \alpha_k = \frac{c_k}{b_k - a_k\alpha_{k-1}} \leq 1$$

Если  $\alpha_{k-1} < 1$ , то  $\alpha_k < 1$ , поскольку  $b_k - \alpha_{k-1}a_k > b_k - a_k \geq c_k$ . Это означает, что если уж неравенство стало строгим, оно таким и останется.

Таким образом, все знаменатели кроме последнего  $> 0$ . В нём  $c_n = 0 \neq 0$ .

Разберёмся, что с ним делать. Поскольку мы предположили что диагональное преобладание хоть где-то строгое (в  $k_0$ ), возможны варианты:

1.  $k_0 < n \Rightarrow \alpha_{n-1} < 1$ . Тогда  $b_n - a_n\alpha_{n-1} > b_n - a_n \geq 0$

2.  $k_0 = n \Rightarrow \alpha_{n-1} \leq 1$ . Тогда  $b_n - a_n\alpha_{n-1} \geq b_n - a_n > 0$

Как видно, даже последний знаменатель  $\neq 0$

Посмотрим, какие условия утверждение выше накладывает на уравнение. Вспомним выражения для  $a_k, \dots$

$$a_k = 1 - \frac{h}{2} p_k \quad b_k = 2 - h^2 q_k \quad c_k = 1 + \frac{h}{2} p_k \quad d_k = h^2 f_k$$

Отсюда

$$a_k > 0 \Leftrightarrow h < \frac{2}{\max |p_k|}$$

$$c_k > 0 \Leftrightarrow h < \frac{2}{\max |p_k|}$$

$$b_k \geq c_k + a_k \Leftrightarrow \boxed{q_k \leq 0}$$

Можно ещё подумать про граничные условия. Тут всё зависит от способа вычисления производной на границе.

**Пример 1.** Оценим производную по простейшей схеме

$$\frac{y_1 - y_0}{h} = \alpha y_0 + A$$

Тогда

$$y_1 + y_0(-1 - \alpha h) = Ah \Rightarrow \begin{matrix} b_0 = 1 + \alpha h \\ c_0 = 1 \end{matrix}$$

И по сути нам нужно  $\boxed{\alpha \geq 0}$ . Аналогично с правой границей, там  $\boxed{\beta \leq 0}$ .

<sup>1</sup>здесь бы и хотелось сразу  $\alpha_0 < 1$ , да  $a_0 = 0$ , так что неравенство  $c_0 \leq b_0$  нестрогое

Если хотя бы одно из трёх условий в рамке строгое, прямая прогонка работает.

**Замечание 1.** Рассмотрим однородную задачу с однородным левым граничным условием ( $A = 0$ ). Тогда  $d_k = 0 \Rightarrow \beta_k = 0$  при  $k < n$ . Прогоночное соотношение примет вид  $y_k = \alpha_k y_{k+1}$ . Если один из узлов находится вблизи  $y(x) = 0$ ,  $\alpha_k$  окажется большим, что не очень хорошо с вычислительной точки зрения. Но, вообще, вероятность этого низкая, и можно просто узлы сдвинуть если что-то сломается.

Теперь видимо то, что в названии

**Лемма 1.** Пусть выполнено условие достаточности прогонки 1.7.1 в усиленном виде:

$$b_k \geq a_k + c_k + \delta, \quad \delta > 0.$$

Тогда

$$\max_k |y_k| \leq \delta^{-1} \max_k |d_k|$$

▼

Пусть  $M = \max |y_k| = y_{k_0}$  (их же конечное число). Тогда из разностной СЛУ (1.9)

$$\begin{aligned} b_{k_0} y_{k_0} &= a_{k_0} y_{k_0-1} + c_{k_0} y_{k_0+1} - d_{k_0} \\ \Rightarrow b_{k_0} M &\leq a_{k_0} M + c_{k_0} M - d_{k_0} \\ \Rightarrow \delta M &\leq (b_{k_0} - a_{k_0} - c_{k_0}) M \leq |d_{k_0}| \leq \max |d_k| \end{aligned}$$

◀

## § 8. Теорема о сходимости разностного метода

**Теорема 1.** Рассмотрим краевую задачу III типа для уравнения второго порядка. Пусть

1.  $p, q, f \in C^2([a; b])$
2.  $q(x) \leq -q_0, q_0 > 0$
3.  $\alpha < 0, \beta > 0$

Тогда разностный метод сходится:

$$\forall k :: |y(x_k) - y_k| < Ch^2, \quad C = \text{const}$$

□ Запишем уравнение на сетке:

$$\frac{y(x_{k+1}) - 2y(x_k) + y(x_{k-1}))}{h^2} + R_1 + p(x_k) \frac{y(x_{k+1}) - y(x_{k-1}))}{2h} + p(x_k) R_2 + q(x_k) y(x_k) = f(x_k)$$

Вычтем теперь из него разностное (которое (1.8)), вводя  $w_k = y(x_k) - y_k$

$$\frac{w_{k+1} - 2w_k + w_{k-1}}{h^2} + p_k \frac{w_{k+1} - w_{k-1}}{2h} + q_k w_k = R, \quad R = -R_1 - p_k R_2$$

Если вспомнить как выглядят оценки  $R_1$  и  $R_2$  то становится понятно зачем нужен первый пункт в условиях теоремы. Но мы вспоминать точный вид не будем, а просто запишем  $R = Lh^2$

Чтобы оценить производную на границе, можно воспользоваться формулой с фиктивными узлами и сдвинутой сеткой (на  $h/2$ ), тогда:

$$\frac{w_1 - w_0}{h} = \alpha \frac{w_0 + w_1}{2} + R_0 \quad \frac{w_{n+1} - w_n}{h} = \beta \frac{w_{n+1} + w_n}{2} + R_{n+1}$$

Выражения для  $R$  снова квадратичны по  $h$ , запишем их так:  $R_0 = L_0 h^2, R_{n+1} = L_{n+1} h^2$ .

Запишем выражения для коэффициентов линейной системы с  $w_k$ :

$$a_k = \frac{1}{h^2} - \frac{p_k}{2h} \quad b_k = \frac{2}{h^2} - q_k \quad c_k = \frac{1}{h^2} + \frac{p_k}{2h} \quad d_k = h^2 L$$

(они такие же как и раньше, только правая часть в уравнении поменялась)

Подгоним под условия леммы 1.7.1

$$b_k \geq a_k + c_k + \delta \Leftrightarrow -q_k \geq \delta \Leftrightarrow \delta = q_0$$

На границах

$$\begin{aligned} a_0 &= 0 & b_0 &= \frac{1}{h} + \frac{\alpha}{2} & c_0 &= \frac{1}{h} - \frac{\alpha}{2} & d_0 &= h^2 L_0 \\ a_{n+1} &= \frac{1}{h} + \frac{\beta}{2} & b_{n+1} &= \frac{1}{h} - \frac{\beta}{2} & c_{n+1} &= 0 & d_{n+1} &= -h^2 L_{n+1} \end{aligned}$$

Снова найдём  $\delta$

$$\begin{aligned} b_0 \geq a_0 + c_0 + \delta &\Leftrightarrow \alpha \geq \delta \Leftrightarrow \delta = \alpha \\ b_{n+1} \geq a_{n+1} + c_{n+1} + \delta &\Leftrightarrow -\beta \geq \delta \Leftrightarrow \delta = -\beta \end{aligned}$$

Выберем:

$$\delta = \min \{q_0, \alpha, -\beta\} \quad C = \max \{|L|, |L_0|, |L_1|\}$$

Тогда по лемме

$$\max |w_k| \leq \delta^{-1} \max |d_k| \Rightarrow \max |y(x_k) - y_k| \leq \delta^{-1} C h^2$$

■

<+дальше идет каша из всяких обобщений, не буду пока их писать+>

## § 9. Жёсткие системы ОДУ

Будем рассматривать задачу Коши для системы обыкновенных дифференциальных уравнений.

$$\mathbf{y}'(x) = f(x, \mathbf{y}(x)), \quad \mathbf{y}(x_0) = \mathbf{y}_0$$

Пусть  $x_n$  — узлы равномерной сетки с шагом  $h$ .

### 1. Методы численного интегрирования ОДУ

#### 1. Метод Эйлера

$$\mathbf{y}_{n+1} = \mathbf{y}_n + hf(x_n, \mathbf{y}_n)$$

#### 2. Неявный метод Эйлера

$$\mathbf{y}_{n+1} = \mathbf{y}_n + hf(x_{n+1}, \mathbf{y}_{n+1})$$

оба метода выше имеют ошибку  $\sim O(h)$ . Поэтому они и называются простейшими.

Рассмотрим более точные методы

#### 3. Улучшенный метод Эйлера

$$\mathbf{y}_{n+1} = \mathbf{y}_n + \frac{h}{2} \left( f(x_n, \mathbf{y}_n) + f(x_{n+1}, \mathbf{y}_n + hf(x_n, \mathbf{y}_n)) \right)$$

#### 4. Метод трапеций

$$\mathbf{y}_{n+1} = \mathbf{y}_n + \frac{h}{2} \left( f(x_n, \mathbf{y}_n) + f(x_{n+1}, \mathbf{y}_{n+1}) \right)$$

#### 5. Метод средних прямоугольников

$$\mathbf{y}_{n+1} = \mathbf{y}_n + hf\left(x_n + \frac{h}{2}, \frac{\mathbf{y}_n + \mathbf{y}_{n+1}}{2}\right)$$

#### 6. Весовая формула трапеций

$$\mathbf{y}_{n+1} = \mathbf{y}_n + h \left( (1 - \theta) f(x_n, \mathbf{y}_n) + \theta f(x_{n+1}, \mathbf{y}_{n+1}) \right), \quad 0 \leq \theta \leq 1$$

#### 7. Весовая формула прямоугольников

$$\mathbf{y}_{n+1} = \mathbf{y}_n + hf\left(x_n + \theta h, (1 - \theta) \mathbf{y}_n + \theta \mathbf{y}_{n+1}\right), \quad 0 \leq \theta \leq 1$$

Как видно, только первый метод явный, остальные неявные в той или иной степени.

<+можно их точность оценить+>

## 2. Жёсткие системы

**Определение 1.** Формального полного определения жёсткости нет.

*Замечание 1.* Обычно под жёсткими системами понимают следующую ситуацию: пусть в решении системы есть две области

1. «переходный слой» где решение быстро изменяется, как правило небольшой
2. область плавного изменения решения

Проблема исключительно вычислительная — хочется интегрировать переходный слой малым шагом, а область плавного изменения большим. А она может быть довольно большой. И времени у нас не вечность. И вот в процессе перехода от малого шага к большому и возникают некоторые трудности. Для систем эти области ещё могут перекрываться.

Если такие подобные трудности возникают, то система — жёсткая.

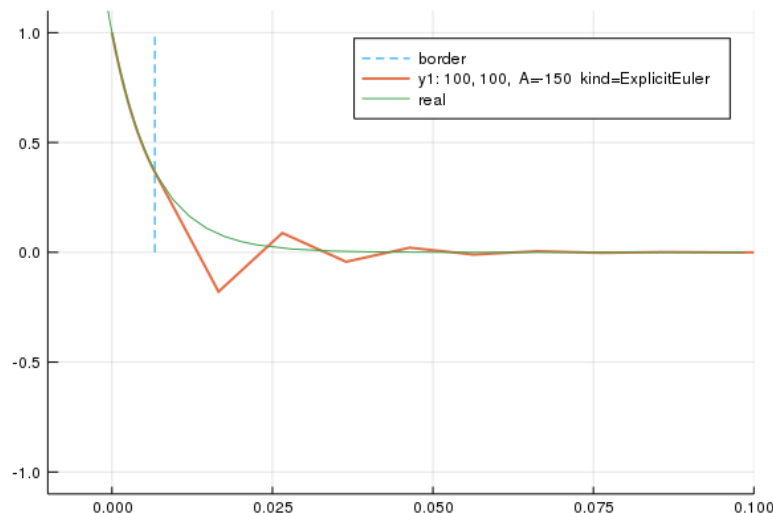
**Пример 1.** Рассмотрим  $f(x, y) = Ay$ ,  $y(0) = 1$  (всё одномерное). Его решение —  $y = e^{Ax}$ . Попробуем решить методом Эйлера

$$y_{n+1} = y_n + hAy_n = y_n(1 + hA) = y_0(1 + hA)^{n+1}$$

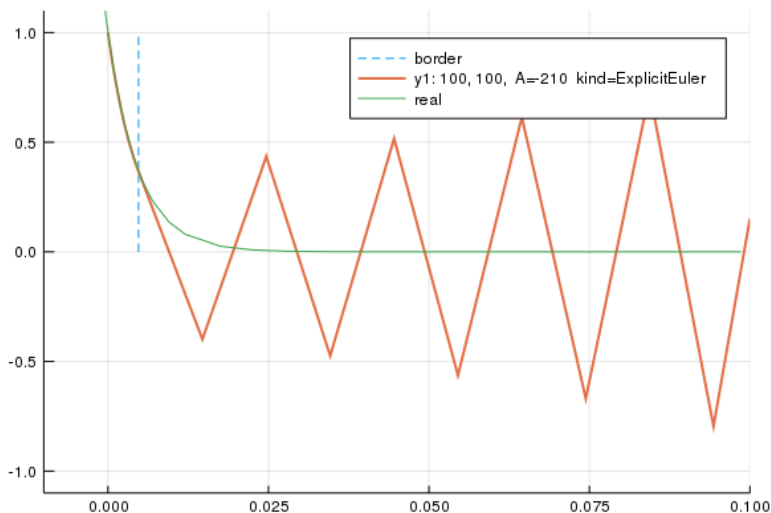
Из определения  $\epsilon$  при  $h \rightarrow 0$  получается истинное решение. Однако, рассмотрим что происходит при  $A \ll 0$ .

1.  $A < 0$ ,  $1 < |Ah| < 2$ . Тогда  $-1 < 1 + hA < 0$ ,  $(1 + hA)^n$  меняет знак. При этом численное решение осциллирует, но осцилляции затухают. Истинное решение, как мы помним, убывающая экспонента. С ней такого точно не бывает.

Выглядит это примерно вот так:



2.  $A < 0$ ,  $|Ah| \geq 2$ . Тогда  $1 + hA \leq -1$ . Здесь колебания даже не затухают, а вообще растут. Что-то никак не связанное с экспонентой.

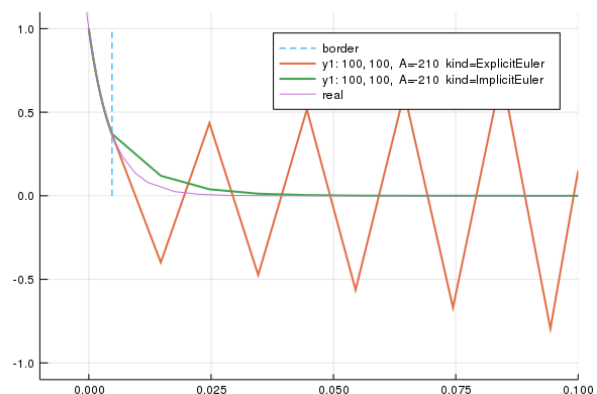
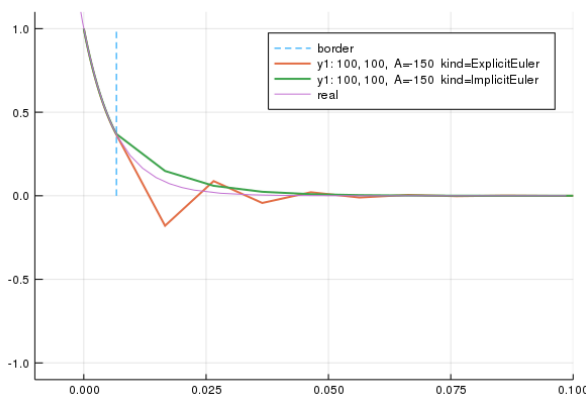


**Пример 2.** Снова рассмотрим  $f(x, y) = Ay$ ,  $y(0) = 1$  (всё одномерное). Его решение —  $y = e^{Ax}$ . Такую штуку называют пробным уравнением

Попробуем решить неявным методом Эйлера

$$y_{n+1} = y_n + hAy_{n+1} \Rightarrow y_{n+1} = \frac{1}{1 - Ah} y_n = \left( \frac{1}{1 - Ah} \right)^{n+1} y_0$$

И вот здесь никаких проблем с  $A < 0$  нету, какое бы оно большое не было. Сравним его с явным методом Эйлера



**Пример 3.**

$$f(x, y) = \begin{pmatrix} A & 0 \\ 0 & a \end{pmatrix} \begin{pmatrix} y_1 \\ y_2 \end{pmatrix}, \quad -A \gg 1, \quad a \sim 1$$

вот такая штука точно жёсткая: на одном и том же отрезке один кусок решения резко изменяется, а другой ведёт себя весьма плавно.

В качестве некоторой попытки формализации рассуждений иногда вводят такое определение:

**Определение 2.** Пусть  $f(x, y) = \hat{A}y$ ,  $\lambda_i$  — собственные числа  $\hat{A}$ . Тогда если

$$\frac{\max_i \{ |\operatorname{Re} \lambda_i| \}}{\min_i \{ |\operatorname{Re} \lambda_i| \}} \gg 1$$

систему называют жёсткой.

**Определение 3.** Рассмотрим одношаговый метод для  $y' = Ay$ ,  $R(z) : y_{n+1} = R(Ah)y_n$  — функция устойчивости (?) переходный множитель (?) ⚡

**Определение 4.** Одношаговый метод называется  $A$ -устойчивым, если для него  $|R(z)| \leq 1$  в левой полуплоскости.

**Определение 5.**  $\{z \mid |R(z)| \leq 1\}$  называется областью  $A$ -устойчивости метода.

**Пример 4.** Явный метод Эйлера устойчив в круге  $|z + 1| < 1$ : для него  $R(z) = 1 + z$ .

## § 10. Неявные методы Рунге-Кутты

**Определение 1.** Одношаговый метод называется  $L$ -устойчивым, если он  $A$ -устойчив и  $\lim_{z \rightarrow \infty} R(z) = 0$ . например, тот же неявный метод Эйлера.

Прежде чем вводить методы Рунге-Кутты, разберёмся с устойчивостью оставшихся методов 3–7

- Улучшенный метод Эйлера

$$R(z) = 1 + z + \frac{z^2}{2}$$

совсем неустойчив

- Метод трапеций/метод средних прямоугольников

$$R(z) = \frac{1 + z/2}{1 - z/2}$$

- Весовая формула

$$R(z) = \frac{1 + (1 - \theta)z}{1 - \theta z}$$

$A$ -устойчива при  $\theta \geq \frac{1}{2}$ . Просто при таком преобразовании прообразом единичного круга будет круг/внешность круга с центром в  $\theta - \frac{1}{2}$  и радиусом  $|\theta - \frac{1}{2}|$ .

Всё, можно бросаться сеять паслёновые определения

**Определение 2** ( $q$ -этапный метод РК).

$$k_i = f\left(x_n + \alpha_i h, y_n + h \sum_{j=1}^{i-1} \beta_{ij} k_j\right)$$

$$y_{n+1} = y_n + h \sum_{i=1}^q \gamma_i k_i$$

а  $\alpha_i, \beta_{ij}, \gamma_i$  уже зависят от метода.

**Определение 3.** Неявным методом называется такой вариант метода РК, где у матрицы  $\beta_{ij}$  ненулевые диагональные и/или наддиагональные члены.

**Определение 4.** Диагональным неявным методом называется такой вариант метода РК, где у матрицы  $\beta_{ij}$  ненулевые диагональные члены, а наддиагональные все нулевые.

Закопаемся в варианты реализации этих методов. Все примеры будут иметь такой вид:  $\alpha \frac{\beta}{\gamma}$   
Сначала стоит заметить чем хороши неявные методы РК.

**Утверждение 1.** Существует реализация неявного метода с  $p = 2q$ , где  $p$  — порядок точности

Собственно, просто берём узлы и коэффициенты гауссовой квадратурной формулы.

Ещё стоит отметить что неявные методы  $A$ -устойчивы, а вот диагональные как повезёт.

**Пример 1** (обычный rk4).

$$\begin{array}{c|cccc} 0 & 0 & 0 & 0 & 0 \\ \frac{1}{2} & \frac{1}{2} & 0 & 0 & 0 \\ \frac{1}{2} & 0 & \frac{1}{2} & 0 & 0 \\ 1 & 0 & 0 & \frac{1}{2} & 0 \\ \hline & \frac{1}{6} & \frac{1}{3} & \frac{1}{3} & \frac{1}{6} \end{array}$$



Пример 2. (основанная на методе Гаусса)

$$\begin{array}{cc|cc} \frac{1}{2} - \frac{\sqrt{3}}{6} & & \frac{1}{4} & \frac{1}{4} - \frac{\sqrt{3}}{6} \\ \frac{1}{2} + \frac{\sqrt{3}}{6} & & \frac{1}{4} - \frac{\sqrt{3}}{6} & \frac{1}{4} \\ \hline & & \frac{1}{2} & \frac{1}{2} \end{array}$$

Пример 3. (диагонального неявного РК)

$$\begin{array}{cc|cc} \gamma & & \gamma & 0 \\ 1 - \gamma & & 1 - 2\gamma & \gamma \\ \hline & & \frac{1}{2} & \frac{1}{2} \end{array} \quad \gamma = \frac{1}{2} + \frac{\sqrt{6}}{3}$$

<+ещё примеры?+>

## 2 Методы линейной алгебры

фыва!

## 3 Интегральные уравнения

### § 1. Интегральное уравнение II рода, метод замены ядра на вырожденное

Определение 1. Интегральным уравнением Фредгольма II рода называется уравнение вида

$$\varphi(x) = f(x) + \mu \int_a^b K(x, t) \varphi(t) dt. \quad (3.1)$$

Функция  $K$  — его ядро, а  $\mu$  — характеристическое число.<sup>2</sup>

Обозначим через  $K$  (хм, да, вольность) оператор

$$\varphi(t) \mapsto \int_a^b K(x, t) \varphi(t) dt.$$

Ясно, что он компактен. Уравнение теперь примет вид

$$(I - \mu K)\varphi = f.$$

Оператор  $T = I - \mu K$ , конечно, фредгольмов.

Утверждение 1. Сопряжённый в  $L^2([a, b])$  оператор к  $K$  выражается следующим образом:

$$K^* \varphi(x) = \int_a^b \overline{K(t, x)} \varphi(t) dt.$$

Доказательство. Прямым вычислением (ну, там внутри ещё теорема Фубини) проверяется, что

$$\langle K\varphi, \psi \rangle = \langle \varphi, K^* \psi \rangle.$$

□

Замечание 1. У ядра меняются местами аргументы и оно сопрягается — точно так же, как транспонирование вместе с комплексным сопряжением дают матрицу сопряжённого оператора в конечномерном случае!

Сформулируем альтернативу Фредгольма 1.6.1 для такого уравнения:

Утверждение 2.

1. Уравнение  $T\varphi = f$  разрешимо однозначно тогда и только тогда, когда  $\mu^{-1}$  — не собственное число оператора  $K$ .
2. В противном случае уравнение  $T\varphi = f$  разрешимо тогда и только тогда, когда функция  $f$  ортогональна всем собственным векторам оператора  $K^*$ , соответствующим числу  $\bar{\mu}^{-1}$ .
3.  $\mu^{-1}$  и  $\bar{\mu}^{-1}$  — собственные числа операторов  $K$  и  $K^*$  соответственно одинаковой конечной кратности.

<sup>2</sup>Кажется, иногда в определении полагают  $\mu = 1$ , но всегда ведь можно внести его в ядро. Мы иногда тоже будем на него забывать.

**Замечание 2.** Для симметричного ядра (т.е. когда  $K = K^*$ ) то же самое несложно доказать, используя разложение по собственному базису оператора  $K$  (которое есть по теореме Гильберта-Шмидта 1.5.1). Так можно быстро понять, что если  $\mu^{-1}$  — собственное число  $K$ , то решений либо нет, либо их бесконечно много.

Рассмотрим уравнение 3.1 с вырожденным ядром

$$K(x, t) = \sum_{i=1}^n \alpha_i(x) \beta_i(t).$$

Функции  $\alpha_i$  и  $\beta_i$  можно считать ЛНЗ: если это не так, нетрудно выразить одну из них через другие и избавиться от неё. Подставляя ядро в уравнение 3.1, получим

$$\varphi(x) = f(x) + \sum_{j=1}^n A_j \alpha_j(x), \text{ где } A_j = \mu \int_a^b \beta_j(t) \varphi(t) dt. \quad (3.2)$$

Это представление для функции  $\varphi$  теперь подставим в исходное уравнение:

$$f(x) + \sum_{i=1}^n A_i \alpha_i(x) = f(x) + \mu \int_a^b \sum_{i=1}^n \alpha_i(x) \beta_i(t) \left( f(t) + \sum_{j=1}^n A_j \alpha_j(t) \right) dt$$

Чтобы переписать это покороче, введём обозначения

$$\beta_{ij} = \int_a^b \beta_i(t) \alpha_j(t) dt, \quad f_i = \int_a^b f(t) \beta_i(t) dt.$$

и получим

$$\sum_{i=1}^n A_i \alpha_i(x) = \mu \sum_{i=1}^n \left( f_i + \sum_{j=1}^n \beta_{ij} A_j \right) \alpha_i(x).$$

Поскольку  $\alpha_i$  линейно независимы, коэффициенты при них слева и справа должны быть равны. Записав эти равенства, мы приходим к системе линейных уравнений

$$A_i = \mu f_i + \mu \sum_{j=1}^n \beta_{ij} A_j.$$

В векторном виде она будет выглядеть так:

$$A = \mu(\beta A + f),$$

где  $A$  и  $f$  — векторы,  $\beta$  — матрица, а  $\mu$  всё ещё число.

Эта система решается так:

$$(I - \mu\beta)A = \mu f \Rightarrow \boxed{A = \mu(I - \mu\beta)^{-1}f}, \text{ если } \det(I - \mu\beta) \neq 0.$$

Пусть  $\Delta = \det(I - \mu\beta)$  и  $\Delta_{ij}$  — алгебраическое дополнение элемента  $\delta_{ij} - \mu\beta_{ij}$ . Тогда можно записать явную формулу для  $A^1$ :

$$A_i = \frac{\mu}{\Delta} \sum_{j=1}^n \Delta_{ji} f_j$$

Подставляя теперь найденные  $A_i$  в 3.2, найдём, что

$$\varphi(x) = f(x) + \lambda \int_a^b \Gamma(x, t) f(t) dt,$$

где резольвента  $\Gamma$  имеет вид

$$\Gamma(x, t) = \frac{1}{\Delta} \sum_{i,j=1}^n \Delta_{ji} \alpha_i(x) \beta_j(t).$$

Трудная задача — приблизить произвольное ядро вырожденным. Есть несколько способов:

<sup>1</sup>Это просто формула для обратной матрицы через алгебраические дополнения.

1. Разложить ядро в ряд Тейлора.
2. Интерполировать ядро.
3. Разложить ядро по ортогональной системе функций.

Подробнее про них можно прочитать в книге [?].

Заменяя ядро на вырожденное, мы надеемся, что и решения тоже изменятся не сильно. Надо бы это обосновать (хотя бы как-то). Пусть есть уравнение

$$Au = f, \quad A = I - K$$

и приближающее его уравнение

$$A_n u_n = f, \quad A_n = I - K_n.$$

Нетрудно видеть, что

$$u - u_n = (A^{-1} - A_n^{-1})f \Rightarrow \|u - u_n\| \leq \|A^{-1} - A_n^{-1}\| \cdot \|f\|.$$

Поэтому интересно оценить норму разности обратных операторов. Займёмся этим.

**Утверждение 3.** Пусть  $P$  — ограниченный оператор,  $\|P\| < 1$ . Тогда оператор  $I - P$  обратим, причём

$$(I - P)^{-1} = \sum_{i=1}^{\infty} P^i,$$

где сходимость — по операторной норме.

**Утверждение 4.** Пусть  $P$  и  $H$  — ограниченные операторы,  $P$  обратим, а  $\|H\| < \|P^{-1}\|^{-1}$ . Тогда элемент  $P - H$  обратим, причём

$$\|(P - H)^{-1}\| \leq \frac{\|P\|^{-1}}{1 - \|H\| \|P^{-1}\|}.$$

и

$$\|(P - H)^{-1} - P^{-1}\| \leq \frac{\|H\| \|P^{-1}\|^2}{1 - \|H\| \|P^{-1}\|}.$$

*Доказательство.* Позволим себе иногда использовать дроби и 1 вместо  $I$ , как если бы операторы были числами. Не составит труда переписать всё через обратные!

Заметим, что первое из двух утверждений теоремы для  $P = I$  следует из 3.1.3:

$$\|(I - H)^{-1}\| = \left\| \sum_{i=1}^{\infty} H^i \right\| \leq \sum_{i=1}^{\infty} \|H\|^i = \frac{1}{1 - \|H\|}. \quad (3.3)$$

Далее,

$$\left\| \frac{1}{P - H} \right\| = \left\| P^{-1} \frac{1}{1 - P^{-1}H} \right\| \leq \|P^{-1}\| \cdot \left\| \frac{1}{1 - P^{-1}H} \right\| \leq \frac{\|P^{-1}\|}{1 - \|P^{-1}H\|} \leq \frac{\|P\|^{-1}}{1 - \|H\| \|P^{-1}\|}.$$

В предпоследнем переходе используется соотношение 3.3, где  $H \rightarrow P^{-1}H$ .

Наконец,

$$\left\| \frac{1}{P - H} - \frac{1}{P} \right\| = \left\| \frac{1}{P} \left( \frac{1}{1 - P^{-1}H} - 1 \right) \right\| = \left\| \frac{1}{P} \frac{P^{-1}H}{1 - P^{-1}H} \right\| \leq \frac{\|H\| \|P^{-1}\|^2}{1 - \|H\| \|P^{-1}\|}.$$

□

Отсюда сразу же следует утверждение

**Утверждение 5.** При достаточно больших  $n$

$$\|A^{-1} - A_n^{-1}\| \leq \frac{\rho \|A^{-1}\|^2}{1 - \rho \|A^{-1}\|} \quad \text{и} \quad \|A^{-1} - A_n^{-1}\| \leq \frac{\rho \|A_n^{-1}\|^2}{1 - \rho \|A_n^{-1}\|},$$

где  $\rho = \|A - A_n\| = \|K - K_n\|$ .

**Замечание 3.** Рассмотрим теперь задачу с симметричным ядром (т.е. с самосопряжённым  $K$ ). В ней есть ортонормированный собственный базис  $\alpha_i$ , поэтому

$$u = \sum_{i=1}^{\infty} \langle u, \alpha_i \rangle \alpha_i \Rightarrow Ku = \sum_{i=1}^{\infty} \langle u, \alpha_i \rangle \lambda_i \alpha_i,$$

где  $\lambda_i$  — соответствующее собственное число. Расположим  $\lambda_i$  в порядке убывания модуля и положим

$$K_n u = \sum_{i=1}^n \langle u, \alpha_i \rangle \lambda_i \alpha_i$$

Это интегральный оператор с вырожденным ядром

$$K_n(x, t) = \sum_{i=1}^n \lambda_i \alpha_i(x) \overline{\alpha_i(t)}. \quad (3.4)$$

Можно доказать, что он является лучшей аппроксимацией ранга  $n$  для оператора  $K$  по операторной  $L^2$ -норме.

Посмотрим на разность:

$$(K - K_n)u = \sum_{i=n+1}^{\infty} \langle u, \alpha_i \rangle \lambda_i \alpha_i.$$

Найдём её норму:

$$\|(K - K_n)u\|^2 = \sum_{i=n+1}^{\infty} |u_i|^2 |\lambda_i|^2, \quad u_i = \langle u, \alpha_i \rangle.$$

При этом

$$\|K - K_n\| = \sup \frac{\|(K - K_n)u\|}{\|u\|},$$

и

$$\frac{\|(K - K_n)u\|^2}{\|u\|^2} = \frac{\sum_{i=n+1}^{\infty} |u_i|^2 |\lambda_i|^2}{\sum_{i=n+1}^{\infty} |u_i|^2} \leq \frac{\sum_{i=n+1}^{\infty} |u_i|^2 |\lambda_{n+1}|^2}{\sum_{i=n+1}^{\infty} |u_i|^2} = |\lambda_{n+1}|^2.$$

С другой стороны, эта оценка достигается, когда  $u$  — собственный вектор числа  $\lambda_{n+1}$ . Поэтому

$$\boxed{\|K - K_n\| = |\lambda_{n+1}|}.$$

Отсюда и из утверждения 3.1.5 ясно: чем быстрее убывают собственные числа, тем лучше наша оценка! Из уравнения 3.4 видно, что собственные числа — что-то вроде коэффициентов в ряде Фурье по собственным функциям для ядра. Видимо, поэтому скорость их убывания возрастает, если ядро становится более гладким... А ядра гладкие не всегда.

**Замечание 4.** Есть способ сгладить ядро. Надо в уравнение 3.1 подставить

$$\varphi(t) = f(t) + \mu \int_a^b K(t, \xi) \varphi(\xi) d\xi.$$

Получится уравнение

$$\varphi(x) = f_2(x) + \mu \int_a^b K_2(x, \xi) \varphi(\xi) d\xi,$$

где

$$f_2(x) = f(x) + \mu \int_a^b K(x, t) f(t) dt, \quad K_2(x, \xi) = \mu \int_a^b K(x, t) K(t, \xi) dt.$$

У  $K_2$  с гладкостью получше, но его надо считать.

## § 2. Метод квадратур для интегрального уравнения

Идея заключается в том, чтобы в уравнении

$$u(x) = f(x) + \int_a^b K(x, t)u(t) dt$$

заменить интегрирование на вычисление по какой-нибудь квадратурной формуле:

$$\int_a^b u(x) dx = \sum_{k=1}^n A_k u(x_k) + R.$$

Получится

$$u(x) = f(x) + \sum_{k=1}^n A_k K(x, x_k) u(x_k) + R.$$

Пусть  $\tilde{u}$  — решение этого уравнения с отброшенным  $R$ ,  $u_k = \tilde{u}(x_k)$ ,  $f_k = f(x_k)$  и  $K_{ik} = K(x_i, x_k)$ . Получаем систему линейных уравнений

$$u_i = f_i + \sum_{k=1}^n A_k K_{ik} u_k.$$

Её можно решить обычными методами; зная  $u_k$ , можно оценить  $u(x)$  в любой точке:

$$u(x) = f(x) + \sum_{k=1}^n A_k K(x, x_k) u_k.$$

Попробуем оценить погрешность результата. Для многих стандартных квадратурных методов верна формула

$$R[\theta] = \delta(n) \max |\theta^{(m)}(x)|.$$

Нас интересует  $R[K(x, t)u(t)]$  при фиксированном  $x$ .  $m$ -е производные функции  $K(x, t)u(t)$  выражаются через производные известной  $K(x, t)$  и через производные  $u(t)$  порядка не более  $m$ .

Чтобы оценить их, продифференцируем наше интегральное уравнение:

$$u^{(l)}(x) = f^{(l)}(x) + \int_a^b K_x^{(l)}(x, t) u(t) dt.$$

Отсюда можно найти оценку для  $u^{(l)}$  через известные  $f$  и  $K$  и максимум модуля решения. Решение же можно записать, как

$$u = (I - K)^{-1} f \Rightarrow \|u\| \leq \|(I - K)^{-1}\| \cdot \|f\| \leq \frac{\|f\|}{1 - \|K\|} \leq \frac{\|f\|}{1 - \chi},$$

где

$$\chi = (b - a) \max |K(s, t)|.$$

Предпоследний переход обусловлен утверждением 3.1.4.

**Замечание 1.** Во-первых, сейчас у нас все нормы —  $L^1$ , от этого ничего не портится. Во-вторых, мы только что неявно предположили, что  $|\chi| < 1$ .

Получив оценку для модуля решения, мы можем найти оценку

$$\left| \frac{\partial^m}{\partial t^m} (K(x, t)u(t)) \right| \leq M,$$

зависящую только от известных функций.

Перейдём теперь непосредственно к оценке ошибки. У нас есть два уравнения

$$\begin{aligned} Au &= f, & A &= I - K; \\ \tilde{A}\tilde{u} &= f, & \tilde{A} &= I - \tilde{K}, \end{aligned}$$

где

$$\tilde{K}\varphi(x) = \sum_{i=1}^n A_i K(x, x_i) \varphi(x_i).$$

Заметим, что

$$\tilde{A}(u - \tilde{u}) = \tilde{A}u - Au \Rightarrow \|u - \tilde{u}\| \leq \|\tilde{A}^{-1}\| \|\tilde{A}u - Au\|.$$

Оценим норму  $\tilde{A}^{-1}$ . Для этого сначала оценим норму  $\tilde{K}$ :

$$\left| \sum_{i=1}^n A_i K(x, x_i) \varphi(x_i) \right| \leq \max |K| \cdot \|\varphi\| \cdot \sum_{i=1}^n A_i = (b-a) \max |K| \cdot \|\varphi\|,$$

поэтому  $\|\tilde{K}\| \leq \kappa$ .

Отсюда

$$\|\tilde{A}^{-1}\| = \|(I - \tilde{K})^{-1}\| \leq \frac{1}{1 - \kappa}.$$

Теперь оценим  $\|\tilde{A}u - Au\|$ :

$$\|\tilde{A}u - Au\| = \max |R[K(x, t)u(t)]| \leq M\delta(n).$$

В конечном итоге находим

$$\|u - \tilde{u}\| \leq \frac{M\delta(n)}{1 - \kappa}.$$

Подробнее про этот метод можно прочитать в книгах [?] и [?].

### § 3. Вариационный принцип для ограниченного оператора; метод Ритца для интегрального уравнения II рода

*Замечание 1.* В этом параграфе все гильбертовы пространства вещественны.

Основная идея заключается в том, чтобы свести решение уравнения

$$Au = f$$

к минимизации некоторого функционала.

**Определение 1.** Энергетическим функционалом для такого уравнения называется

$$\tilde{f}(u) = (Au, u) - 2(f, u).$$

Чтобы работать с энергетическим функционалом, нужны дополнительные ограничения на оператор  $A$ .

**Определение 2.** Оператор  $A$  называют *положительно определённым*, если  $(Au, u) \geq k^2(u, u)$ <sup>1</sup>.

**Утверждение 1.** Самосопряжённый положительно определённый оператор  $A$  обратим.

*Доказательство.* Положим в доказательстве  $k^2 = 1$ , ибо на обратимость это не влияет, можно просто разделить  $A$  на  $k^2$ . Заметим, что  $\ker A = \{0\}$ , поскольку

$$Au = 0 \Rightarrow (Au, u) = 0 \Rightarrow (u, u) = 0 \Rightarrow u = 0.$$

При этом ортогональное дополнение образа  $A$  — его ядро:

$$x \in \operatorname{Im} A^\perp \Leftrightarrow \forall u \quad 0 = (x, Au) = (Ax, u) \Leftrightarrow Ax = 0.$$

Поэтому

$$\overline{\operatorname{Im} A} = \ker A^\perp = H,$$

и образ оператора  $A$  плотен в  $H$ .

<sup>1</sup>Это необычное название, кажется. Их называют ещё *полуограниченными снизу*.



Докажем, что он на самом деле равен  $H$ . Для этого нам пригодится неравенство

$$\|u\|^2 \leq (Au, u) \leq \|Au\| \|u\| \Rightarrow \|u\| \leq \|Au\|.$$

Пусть  $y \in H$ . Поскольку образ плотен, найдётся последовательность  $\{x_n\}$  такая, что  $Ax_n \rightarrow y$ . Однако

$$\|x_n - x_m\| \leq \|Ax_n - Ax_m\|,$$

поэтому  $\{x_n\}$  сходится в себе; гильбертово пространство полно, поэтому  $x_n \rightarrow x$ . Но оператор  $A$  непрерывен, и

$$x_n \rightarrow x \Rightarrow Ax_n \rightarrow Ax \Rightarrow Ax = y.$$

Таким образом,  $A$  сюръективен, и у него есть теоретико-множественный обратный.

При этом

$$\|A^{-1}y\| \leq \|y\|,$$

поэтому обратный оператор ограничен. □

**Утверждение 2.** Если  $A$  — самосопряжённый и положительно определённый, то существует единственное решение  $u^*$  уравнения  $Au = f$ , которое совпадает с единственным минимумом энергетического функционала.

*Доказательство.* Существование и единственность решения следуют из обратимости оператора. Посчитаем значение функционала на векторе  $u^* + h$ :

$$\begin{aligned} \tilde{f}(u^* + h) &= (A(u^* + h), u^* + h) - 2(f, u^* + h) = \tilde{f}(u^*) + (Au^*, h) + (Ah, u^*) + (Ah, h) - 2(f, h) = \\ &= \tilde{f}(u^*) + (h, f) - (f, h) + (Ah, h). \end{aligned}$$

Мы считаем всё вещественным, поэтому  $(h, f) = (f, h)$  и

$$\tilde{f}(u^* + h) = \tilde{f}(u^*) + (Ah, h) \geq \tilde{f}(u^*).$$
□

Метод Ритца устроен примерно так:

1. Выбрать в пространстве  $H$  линейно независимый набор  $\{\varphi_k\}$ .
2. Рассмотреть конечномерное подпространство  $H_n$ , натянутое на первые  $n$  векторов базиса.
3. Найти в нём минимум функционала  $\tilde{f}$  и считать его приближением.

Минимум в  $H_n$  будем искать в виде

$$u_n = \sum_{k=1}^n c_k \varphi_k.$$

**Утверждение 3.** Координаты  $c_n$  минимума  $\tilde{f}$  в подпространстве  $H_n$  находятся из системы линейных уравнений

$$\sum_{k=1}^n (A\varphi_k, \varphi_i) c_k = (f, \varphi_i)$$

*Доказательство.* Если подставить

$$u_n = \sum_{k=1}^n c_k \varphi_k$$

в формулу для функционала

$$\tilde{f}(u_n) = (Au_n, u_n) - 2(f, u_n),$$

получится

$$\tilde{f}(u_n) = \sum_{k,m} c_k c_m (A\varphi_k, \varphi_m) - 2 \sum_m c_m (f, \varphi_m).$$

Дифференцируя это выражение по  $c_i$  и приравнявая к нулю, получим нужную СЛУ. □

**Замечание 2.** Симметричная матрица  $a_{ij} = (A\varphi_i, \varphi_j)$  — матрица Грама положительно определённой симметрической билинейной формы  $g(u, v) = (Au, v)$ . Известно, что определитель матрицы Грама равен квадрату объёма параллелепипеда, натянутого на базисные вектора, в соответствующей метрике. Он, конечно, ненулевой, а потому система линейных уравнений разрешима однозначно.

Поговорим о сходимости метода Ритца.

**Утверждение 4.** Если набор  $\{\varphi_k\}$  таков (это по сути означает, что он является базисом), что

$$\forall v \in H \quad \forall \varepsilon > 0 \quad \exists n, \alpha_i: \left\| v - \sum_{i=1}^n \alpha_i \varphi_i \right\| < \varepsilon,$$

то метод Ритца сходится, т.е.  $\|u_n - u^*\| \rightarrow 0$ .

**Доказательство.** Поскольку оператор  $A$  положительно определён, форма  $g(u, v) = (Au, v)$  является настоящим скалярным произведением. Мы утверждаем, что  $u_n$  — элемент из  $H_n$ , ближайший к  $u^*$  с точки зрения метрики  $g$ . Докажем это. Для этого предположим, что

$$u_n = v_n + h,$$

где  $v_n = u^* - v_n^\perp$  — ближайший к  $u^*$  элемент из  $H_n$ , а  $v_n^\perp \perp H_n$ . Тогда

$$\begin{aligned} \tilde{f}(u_n) &= \tilde{f}(u^*) + (A(h - v_n^\perp), h - v_n^\perp) = \\ &= \tilde{f}(u^*) + g(v_n^\perp, v_n^\perp) + g(h, h). \end{aligned}$$

Видно, что это выражение минимально, когда  $h = 0$  и  $u_n = u^* - v_n^\perp$ .

Найдём теперь по  $\varepsilon$  такое  $N$  и  $w \in H_N$ , что  $\|w - u^*\| < \varepsilon$ . Тогда

$$\|u_n - u^*\| \leq \frac{1}{k} \|u_n - u^*\|_A \leq \frac{1}{k} \|w - u^*\|_A \leq \frac{\sqrt{\|A\|}}{k} \|w - u^*\| < \frac{\sqrt{\|A\|}}{k} \varepsilon,$$

где  $\|x\|_A = \sqrt{g(x, x)}$ . Объясним переходы по пунктам:

1. Потому что  $g(x, x) \geq k^2(x, x)$ .
2. Потому что  $u_n$  — самый близкий элемент к  $u^*$ .
3. Потому что  $(Ax, x) \leq \|Ax\| \|x\| \leq \|A\| (x, x)$ .
4. Прост

Эпсилон домножился на константу, но это не страшно: стремление к нулю всё равно есть. □

**Замечание 3.** Видно, что скорость сходимости метода от гладкости ядра не зависит (только от его нормы). По сути она определяется тем, насколько быстро убывают коэффициенты разложения  $u^*$  по базису  $\varphi_k$ , что связано с гладкостью решения. Зато ограничения на оператор сильные.

## § 4. Интегральное уравнение I рода и его некорректность

**Определение 1.** Интегральным уравнением I рода называют уравнение вида

$$\int_a^b K(x, t)u(t) dt = f(x).$$

**Определение 2.** Говорят, что задача корректна, если при малых изменениях исходных данных решение меняется слабо.

**Определение 3.** Задачу вида  $Au = f$  называют корректной, если у оператора  $A$  есть ограниченный обратный.

Кажется, эти два определения почти одинаковые. :)

**Утверждение 1.** Задача о решении уравнения Фредгольма I рода некорректна.

*Доказательство.* Интуитивно это понятно: мы решаем уравнение вида  $Ku = f$ , где  $K$  — компактный оператор. Его образ маленький, и логично, что слегка изменив  $f$  мы можем получить задачу с совсем другим решением или, скорее, вовсе неразрешимую.

Покажем это для случая симметричного ядра. Симметричность позволит нам выбрать собственный базис  $\{\varphi_n\}$  с собственными числами  $\lambda_n$ . Пусть

$$u = \sum u_i \varphi_i; \quad u = \sum f_i \varphi_i.$$

Тогда уравнение переписывается, как

$$\sum u_i \lambda_i \varphi_i = \sum f_i \varphi_i \Leftrightarrow \boxed{u_i \lambda_i = f_i}.$$

Формально решение имеет вид

$$u = \sum_{i=1}^{\infty} \frac{f_i}{\lambda_i} \varphi_i.$$

Если  $\lambda_i = 0$ , а  $f_i \neq 0$ , то задача наверняка не имеет решения. Всё плохо, даже если это не так: известно, что собственные числа компактного оператора стремятся к нулю, поэтому ряд для  $u$  будет сходиться только если  $f_i$  убывают ещё быстрее.

Посмотрим, что будет при небольшом изменении начальных данных; пусть

$$Ku = f; \quad k\tilde{u} = \tilde{f}; \quad \tilde{f} = f + \delta f; \quad \tilde{u} = u + \delta u,$$

причём  $\|\delta f\| < \varepsilon$ . Функция  $\delta u$  удовлетворяет уравнению  $K\delta u = \delta f$ . Решение должно выглядеть как

$$\delta u = \sum_{i=1}^{\infty} \frac{\delta f_i}{\lambda_i} \varphi_i.$$

Даже если этот ряд сходится, нельзя гарантировать, что при  $\varepsilon \rightarrow 0$   $\delta u$  тоже будет стремиться к нулю.

Действительно, всегда можно выбрать  $\delta f = \varepsilon \varphi_n$ , где  $n$  таково, что  $\lambda_n < \varepsilon$ . Тогда  $\|\delta u\|$  будет больше 1.  $\square$

Подробнее про это можно прочитать в книге [?].

## § 5. Условная корректность по Тихонову, метод квазирешений

**Теорема 1.** (об условной корректности) Пусть оператор  $A$  на гильбертовом пространстве  $H$  некорректен, но инъективен (устанавливает взаимно однозначное отображение на образ). Рассмотрим компакт  $L \in H$ , пусть  $M$  — его образ. Отображение  $A^{-1}$  непрерывно на  $M^1$ .

*Доказательство.* Возьмём какую-нибудь последовательность  $f_n \rightarrow f$  в  $M$ . Оператор  $A$  инъективен, поэтому элементы  $u_n$  такие, что  $Au_n = f_n$  определены однозначно. Выберем в  $\{u_n\}$  какую-нибудь сходящуюся подпоследовательность  $u'_n \rightarrow u'$ .

Поскольку оператор  $A$  непрерывен,  $Au'_n \rightarrow Au'$ ; но  $Au'_n \rightarrow f$ , поэтому и  $Au' = f \Rightarrow u' = A^{-1}f$ . Но тогда выходит, что пределы всех сходящихся подпоследовательностей в  $\{u_n\}$  одинаковы! Поэтому все частичные пределы совпадают, и  $u_n$  имеет предел, который равен  $A^{-1}f$ , что и даёт нам непрерывность.  $\square$

**Определение 1.** Это свойство — иметь непрерывный обратный на образах компактов — и называется *условной корректностью*.

Пусть мы решаем задачу  $Au = f$ , причём правая часть известна с погрешностью:

$$\|f - f_\delta\| \leq \delta,$$

но уравнение  $Au = f_\delta$  не всегда имеет решение даже когда  $f_\delta$  из этого шара. Приходим к определению *квазирешения*:

<sup>1</sup>На самом деле это просто стандартная теорема про то, что непрерывное отображение из компактного пространства в хаусдорфово является гомеоморфизмом на образ.

**Определение 2.** Зафиксируем конкретную  $f_\delta$ . Тогда *квазирешением* уравнения  $Au = f_\delta$  называется вектор  $u_\delta$ , при котором достигается

$$\min_{u \in D} \|Au - f_\delta\|, \quad D = \{u \mid \|u\| \leq R\}.$$

Если искать не при  $\|u\| \leq R$ , а при  $\|u\| = R$ , получится задача на условный экстремум. Используя метод множителей Лагранжа, будем минимизировать функционал

$$F(u) = \alpha \|u\|^2 + \|Au - f_\delta\|^2.$$

**Утверждение 1.** Минимум этого функционала удовлетворяет уравнению

$$(\alpha I + A^*A)u = A^*f.$$

*Доказательство.* Обычный поиск вариации, нужно расписать  $F(u + th)$  через скалярные произведения, продифференцировать по  $t$ , а после положить  $t$  равным нулю.  $\square$

Мы получили уравнение, похожее на исходное, но оно уже второго типа, а при малых  $\alpha$  похоже на исходное. Произошла *регуляризация*! Более того, оператор  $\alpha I + A^*A$  самосопряжён, и

$$((\alpha I + A^*A)u, u) = \alpha(u, u) + (Au, Au) \geq \alpha(u, u),$$

поэтому применим вариационный принцип.

*Замечание 1.* Насколько я понимаю, метод квазирешений нам рассказан в основном для того, чтобы прийти к регуляризации. Из квазирешений следует, что при некотором  $\alpha$  минимум функционала должен хорошо приближать решение — мотивация! Плюс демонстрация того, что не совсем очевидно, что альфу можно просто к нулю стремить.

## § 6. Метод регуляризации для уравнения I рода, сходимость

*Замечание 1.* Кажется, этого билета почти нет у Оли, поэтому я опускаю доказательства. Это хорошо написано у Ангелины.

Идея регуляризации заключается в том, чтобы минимизировать функционал вида

$$F(u) = \alpha \Omega(u) + \|Au - f\|^2,$$

где  $\Omega(u) \geq 0$  и множества  $\Omega(u) < C$  компактны.

*Замечание 2.* В методе квазирешений у нас получился  $\Omega(u) = \|u\|^2$ , для него эти множества — открытые шары, они совсем не компактны.

Стандартный выбор — функционал

$$\Omega(u) = \int_a^b u'^2 dt.$$

Правда, при этом мы начинаем искать решение среди гладких функций.

**Утверждение 1.** Для такого функционала  $\Omega$  множества  $\Omega(u) < C$  компактны.

*Доказательство.* Стандартное рассуждение, использующее теорему Арцела-Асколи: подмножество в пространстве непрерывных функций на отрезке компактно тогда и только тогда, когда оно равномерно ограничено и равностепенно непрерывно. Из компактности в смысле топологии пространства непрерывных функций следует компактность в смысле  $L^2$ -нормы.  $\square$

Годятся и функционалы

$$\Omega(u) = \int_a^b u^{(p)^2} dt, \quad \Omega(u) = \int_a^b u'^2 - u^2 dt.$$

**Теорема 1.** Пусть  $\|f - f_\delta\| < \delta$ , и мы решаем приближённую задачу  $A\tilde{y} = f_\delta$  вместо точной. Если  $\delta$  и  $\alpha$  стремятся к нулю так, что

$$\frac{\delta^2}{\alpha} \leq \gamma < \infty,$$

то  $\tilde{y} \rightarrow u$ .

*Доказательство.* См. конспект Ангелины. □

Коэффициент  $\alpha$  обычно подбирают эмпирически: если он мал, то решение будет ближе к  $\tilde{y}$ , если велик, оно будет глаже... Стандартный функционал приводит к вариационной задаче

$$K^*Ku - \alpha u'' = K^*f.$$

# 4 Вариационные методы

## § 1. Вариационный принцип для уравнения с неограниченным оператором

**Определение 1.** *Неограниченным* называется оператор  $A$  на гильбертовом пространстве, определённый на его всюду плотном линейном подпространстве  $\mathcal{D}(A)$ .

Мы будем требовать от  $A$  также симметричности (самосопряжённости) и положительной определённости.

**Определение 2.** Билинейная форма  $(u, v)_A = (Au, v)$  называется *энергетическим скалярным произведением*, норма  $\|u\|_A = (u, u)_A$  — *энергетической нормой*. Пополнение  $H_A$  пространства  $\mathcal{D}(A)$  по энергетической норме называется *энергетическим пространством*.

**Замечание 1.** В доказательстве 3.3.4 мы видели, что

$$\|u\| \leq k^{-1} \|u\|_A.$$

Поэтому если последовательность сходится в себе по энергетической норме, то она сходится и по обычной; кофинальные последовательности тоже одинаковые и там, и там. Поэтому пополнение по энергетической норме можно рассматривать, как подмножество  $H$ .

**Теорема 1.** (О вариационном принципе) Рассмотрим энергетический функционал  $F(u) = (u, u)_A - 2(f, u)$ .

1.  $F(u)$  имеет единственный минимум  $u^*$ .
2. Если  $u^* \in \mathcal{D}(A)$ , то  $Au^* = f$ .
3. Если  $Au_0 = f$ , то  $u^* = u_0$ .

**Доказательство.** Рассмотрим функционал  $\Phi(u) = (f, u)$ . Он ограничен на  $H_A$ , поскольку

$$|(f, u)| \leq \|f\| \|u\| \leq k^{-1} \|f\| \|u\|_A.$$

По теореме Рисса он представим в виде  $\Phi(u) = (u^*, u)_A$ . Тогда

$$F(u) = (u, u)_A - 2(u^*, u)_A = \|u - u^*\|^2 - \|u^*\|^2.$$

Ясно, что минимум достигается при  $u = u^*$ .

Третий пункт очевиден, ибо

$$(f, u) = (Au_0, u) = (u_0, u)_A \Rightarrow u_0 = u^*$$

То же самое в обратную сторону даёт пункт 2. □

## § 2. Метод Ритца, сходимость

Метод Ритца и в энергетической Африке метод Ритца. Ну да,  $\varphi_n$  теперь лежат в  $H_A$ , а в остальном — никакой разницы.

**Теорема 1.** Если набор  $\{\varphi_k\}$  таков (это по сути означает, что он является базисом), что

$$\forall v \in H \quad \forall \varepsilon > 0 \quad \exists n, \alpha_i: \left\| v - \sum_{i=1}^n \alpha_i \varphi_i \right\|_A < \varepsilon,$$

то метод Ритца сходится, т.е.  $\|u_n - u^*\|_A \rightarrow 0$ .

*Доказательство.* Доказательство теоремы аналогично доказательству 3.3.4. Первый абзац такой же, по сути, а дальше надо оставить только оценки, содержащие энергетическую норму (я случайно ей воспользовался, когда ещё не знал, что это, извините. то доказательство было непонятно, а то, что я придумал — скорее отсюда).  $\square$

### § 3. Метод Ритца для обычной краевой задачи, вид энергетического пространства, естественные граничные условия

Рассмотрим краевую задачу для уравнения

$$L(y)(x) = -(p(x)y')' + q(x)y = f(x)$$

на отрезке  $[a, b]$  с граничными условиями

- I типа:  $y(a) = 0, y(b) = 0$ .
- III типа:  $y'(a) = \alpha y(a), y'(b) = \beta y(b)$ .

**Определение 1.** Классическое решение — лежит в  $C^2([a, b])$ , нигде не трогает удовлетворяет уравнению в каждой точке.

Ну и  $\mathcal{D}(L) = C^2([a, b])$ .

*Замечание 1.* На самом деле, мы ищем решения не в  $\mathcal{D}(L)$ , а в более узких пространствах. В случае условия I типа нас интересует пространство

$$D_I = \{y \in \mathcal{D}(L) \mid y(a) = y(b) = 0\},$$

а в случае условия III типа

$$D_{III} = \{y \in \mathcal{D}(L) \mid y'(a) = \alpha y(a), y'(b) = \beta y(b)\}.$$

Именно их мы будем пополнять, создавая соответствующее энергетическое пространство.

**Утверждение 1.** Если  $\alpha \geq 0$  и  $\beta \leq 0$  в добавок к условиям

$$p(x) \geq p_0 > 0, \quad q(x) \geq 0,$$

то оператор получится симметричный и положительно определённый.

*Доказательство.* Посмотрим, как будет выглядеть энергетическое скалярное произведение:

$$(Ly, z) = \int_a^b (-(py')' + qy)z \, dx = -py'z|_a^b + \int_a^b (py'z' + qyz) \, dz.$$

Интеграл обозначим через  $I(X)$ , а внеинтегральный член —  $Q(x)$ . Если условия первого типа, то  $Q = 0$ , а если третьего, то

$$Q(y, z) = -\beta p(b)y(b)z(b) + \alpha p(a)y(a)z(a).$$

Симметричность уже видна, и

$$(Ly, y) = \int_a^b (py'^2 + qy^2) \, dx - \beta p(b)y(b)^2 + \alpha p(a)y(a)^2.$$

Если,  $\alpha \geq 0$  и  $\beta \leq 0$ , то и положительная определённость будет.  $\square$

**Определение 2.** Пространством Соболева  $W_p^k(Q) \subset L^p(Q)$  называют пространство функций, обобщённые производные которых вплоть до  $k$ -й лежат в  $L_p(Q)$ .

**Замечание 2.** На пространствах Соболева есть норма. Нас будет интересовать пространство  $W_2^1([a, b])$ ; на нём эта норма имеет вид

$$\|f\|_{W_2^1}^2 = \int_a^b (f^2 + f'^2) dx.$$

Можно доказать, что с такой нормой является гильбертовым (а произвольные пространства Соболева — банаховы).

**Утверждение 2.** Энергетическая норма для оператора  $L$  эквивалентна норме в  $W_2^1$ .

**Доказательство.** Пусть  $P_m = \max p$ ,  $Q_m = \max q$ ,  $M = \max(P_m, Q_m)$ . Нетрудно доказывается, что  $\|y\|_{W_2^1} \leq C\|y\|_L$ :

$$\int_a^b (f^2 + f'^2) dx \leq \frac{1}{M} \int_a^b (pf^2 + qf'^2) dx \leq \frac{1}{M} \|f\|_L^2.$$

Обратное утверждение очевидно для I типа граничных условий:

$$\int_a^b (pf^2 + qf'^2) dx \leq M \|f\|_{W_2^1}^2.$$

Чтобы разобраться с граничными условиями III типа, нам понадобится лемма:

**Лемма 1.** Для любой точки  $x$  значение  $y(x)^2$  не превосходит константы, умноженной на  $\|y\|_{W_2^1}^2$ .

**Доказательство.** Ограничение соболевской нормы даёт ограничение на интеграл от квадрата функции + не позволяет ей расти слишком быстро, поэтому есть надежда, что значения и правда будут ограничены нормой. Займёмся оценкой. Очевидно, что

$$y(x) = y(\xi) + \int_{\xi}^x y'(t) dt.$$

Поскольку  $(a + b)^2 \leq 2(a^2 + b^2)$ ,

$$y(x)^2 \leq 2y(\xi)^2 + 2 \left( \int_{\xi}^x y'(t) dt \right)^2.$$

При этом интеграл

$$\int_{\xi}^x y'(t) dt$$

является  $L^2$ -произведением (в отрезке от  $\xi$  до  $x$ )  $(y'(t), 1)_{L^2}$ , и

$$(y'(t), 1)_{L^2}^2 \leq \|1\|_{L^2([x, \xi])}^2 \|y'\|_{L^2([x, \xi])}^2 = (x - \xi) \int_{\xi}^x y'(t)^2 dt \leq (b - a) \|y'\|_{L^2}^2$$

В итоге получаем, что

$$y(x)^2 \leq 2y(\xi)^2 + 2(b - a) \|y'\|_{L^2}^2$$

Навесив слева и справа интегралы по  $\xi$ , получим, что

$$y(x)^2 \leq \frac{2}{b - a} \|y\|_{L^2}^2 + 2(b - a) \|y'\|_{L^2}^2 \leq C \|y\|_{W_2^1}^2.$$

□



Используя полученную оценку, нетрудно оценить отвечающий за граничные условия член  $Q(x)$  через соболевскую норму.  $\square$

**Замечание 3.** Ещё выполняется *теорема вложения*: все функции из  $W_2^1$  непрерывны, при этом отображение вложения  $W_2^1 \rightarrow C([a, b])$  непрерывно.

**Утверждение 3.** Энергетическое пространство  $H_L$  является подпространством в  $W_2^1$ .

**Доказательство.** Не очень важно,  $D_I$  или  $D_{III}$  придётся пополнять: они оба лежат в  $\mathcal{D}(L)$ , про которое мы доказали, что с энергетической нормой оно гомеоморфно вкладывается в  $W_2^1$ . Поскольку  $W_2^1$  гильбертово, пополнение нас из него не выведет.  $\square$

**Замечание 4.** Пополнение пространства  $D_I$  приведёт нас к пространству  $\overset{\circ}{W}_1^2$  элементов  $W_1^2$ , удовлетворяющих граничному условию I типа. С условием III так не получится, поскольку производная — не непрерывный функционал, и мы придём ко всему  $W_1^2$ . По этой причине условия I типа называют *главными*, а III типа — *естественными*.

О пространствах Соболева в контексте вычислительных методов можно прочитать в книге [?], и ещё подробнее в книге [?].

## § 4. ВРМ-1 для обычной краевой задачи

Идея *вариационно-разностных методов* заключается в том, чтобы использовать сетку и минимизацию функционала одновременно.

Пусть в сетке  $n$  элементов,  $h = \frac{b-a}{n}$ ,  $x_k = a + kh$ ; рассмотрим пространство, состоящее из сеточных функций  $y_{(n)} = \{y_k\}_0^n$ . Суть ВРМ-1 в том, чтобы заменить интегралы на суммы, а производные — на разности, и минимизировать функционал на сеточных функциях.

Наш функционал имеет вид

$$F(y) = (y, y)_L - 2(f, y) = \int_a^b (py'^2 + qy^2 - 2fy) dx - \beta p(b)y^2(b) + \alpha p(a)y^2(a).$$

Сделаем численные замены:

$$\begin{aligned} \int_a^b py' dx &\approx h \sum_{k=0}^{n-1} p\left(x_k + \frac{h}{2}\right) \cdot \left(\frac{y_{k+1} - y_k}{h}\right)^2; \\ \int_a^b (qy^2 - 2fy) dx &\approx h \sum_{k=0}^{n-1} (q_k y_k^2 - 2f_k y_k), \end{aligned}$$

где сумма со штрихом означает, что это формула трапеций (т.е. крайние слагаемые домножены на  $1/2$ ).

Не представляет труда теперь выписать сеточный функционал. Далее минимум ищется дифференцированием по  $y_k$  и приравниванием всех производных к нулю. В итоге для внутренних точек получаются уравнения

$$-\frac{1}{h} \left( p_{i+\frac{1}{2}} \frac{y_{i+1} - y_i}{h} - p_{i-\frac{1}{2}} \frac{y_i - y_{i-1}}{h} \right) + q_i y_i = f_i.$$

Они напоминают уравнения разностной прогонки.

Для левого конца получится уравнение

$$-p_{\frac{1}{2}} \frac{y_1 - y_0}{2} + \frac{h}{2} (q_0 y_0 - f_0) + \alpha p_0 y_0 = 0$$

Второе слагаемое неожиданное! Ведь здесь стоило ожидать простейшее приближение  $y'(a) = \alpha y(a)$ . Оказывается, что оно компенсирует сдвиг:

$$\begin{aligned} p_{\frac{1}{2}} \frac{y_1 - y_0}{2} &= [py'] \left( a + \frac{h}{2} \right) + O(h^2) = \\ &= p(a)y'(a) + \frac{h}{2}(py')'|_a + O(h^2) = \\ &= p(a)y'(a) + \frac{h}{2}(q(a)y(a) - f(a)) + O(h^2). \end{aligned}$$

## § 5. ВРМ-2 для обычной краевой задачи

Идея ВРМ-2 заключается в том, чтобы «поднять» сеточные функции до каких-нибудь функций из  $W_2^1$  (с помощью некоторого сорта интерполяции), а потом минимизировать функционал на получившемся пространстве.

Будем работать с граничными условиями I типа.

Используем кусочно-линейную интерполяцию:

$$\tilde{y}_{(n)}(x) = \frac{x_{k+1} - x}{h} y_k + \frac{x - x_k}{h} y_{k+1}.$$

Производная определена всюду, кроме узлов:

$$\tilde{y}'_{(n)}(x) = \frac{y_{k+1} - y_k}{h}.$$

Однако узлы — множество меры ноль, поэтому производная всё равно определена, как обобщённая функция. Можно доказать, что это и будет производная в смысле обобщённых функций от выполненной сеточной функции. Поэтому наши выполненные функции находятся в  $W_2^1$ .

Можно ввести базисные функции — это выполнения сеточных функций, которые равны нулю всюду, кроме одной точки, а в ней равны единица, т.е.

$$\psi_k(x) = \begin{cases} \frac{x_{k+1} - x}{h}, & [x_k, x_{k+1}]; \\ \frac{x - x_{k-1}}{h}, & [x_{k-1}, x_k]; \\ 0, & \text{иначе} \end{cases}$$

Получилось что-то очень похожее на метод Ритца, но только теперь у нас не фиксированный бесконечный набор  $\{\varphi_k\}$ , а для каждого  $n$  есть набор  $\{\psi_k\}$  с понятным геометрическим смыслом.

Уравнение для минимизации получится такое же:

$$\sum_{k=1}^{n-1} (\psi_k, \psi_m)_A y_k = (f, \psi_m),$$

матрица системы —  $\{a_{km}\} = (\psi_k, \psi_m)_A$ .

Носители базисных функций почти не пересекаются, поэтому

$$|k - m| > 1 \Rightarrow a_{km} = 0.$$

Поэтому система уравнений снова выходит трёхдиагональной:

$$a_m y_{m-1} + b_m y_m + a_{m+1} y_{m+1} = (f, \psi_m),$$

где

$$a_m = a_{m-1, m} \text{ и } b_m = a_{mm}.$$

На негладких решениях мы не получим точности лучше, чем  $O(h)$ . Однако этот метод для них надёжнее, чем просто сеточный.

## § 6. Метод Ритца для эллиптического уравнения, энергетическое пространство и естественные условия

Рассмотрим уравнение

$$Lu = - \sum_{i=1}^n \frac{\partial}{\partial x_i} \left( a_{ik} \frac{\partial u}{\partial x_k} \right) + au = f.$$

Коэффициенты должны удовлетворять нескольким условиям:

1. Все функции действуют в области  $\Omega \subset \mathbb{R}^n$ . В классическом сеттинге решение считается дважды непрерывно дифференцируемыми в  $\Omega$  и непрерывным на  $\bar{\Omega}$ ;  $a_{ij}$  — один раз непрерывно дифференцируемы на  $\bar{\Omega}$ , а остальные коэффициенты просто непрерывны.

2. Симметричность (эллиптичность):  $a_{ik}(x) = a_{ki}(x)$ .

3. Положительная определённость:

$$\sum_i \sum_k a_{ik} \xi_i \xi_k \geq k^2 \sum_i \xi_i^2.$$

Граничные условия бывают

1.  $u|_{\partial\Omega} = 0$  — I типа (задача Дирихле).

2. Пусть

$$\frac{\partial u}{\partial \nu} \Big|_{\partial\Omega} = \sum_{i=1}^n a_{ij} \cos(n, x_i) \frac{\partial u}{\partial x_i} \Big|_{\partial\Omega}.$$

Этот оператор называется *конормальной производной*. Тогда граничное условие выглядит, как

$$\frac{\partial u}{\partial \nu} = \sigma u|_{\partial\Omega}.$$

Это — задача третьего рода (задача Фон-Неймана).

3. Задача второго рода — когда  $\sigma = 0$ .

Найдём вид энергетического произведения.

**Утверждение 1.**

$$(Lu, v) = \int_{\Omega} \left( \sum_{i,j=1}^n a_{ij} \frac{\partial u}{\partial x_j} \frac{\partial v}{\partial x_i} + auv \right) dx + \int_{\partial\Omega} \sigma uv dS.$$

*Доказательство.*

$$(Lu, v) = \int_{\Omega} \left( - \sum_{i=1}^n \frac{\partial}{\partial x_i} \left( a_{ik} \frac{\partial u}{\partial x_k} \right) + au \right) v dx$$

Используя формулу интегрирования по частям

$$\int_{\Omega} \frac{\partial u}{\partial x_i} \varphi dx = - \int_{\Omega} u \frac{\partial \varphi}{\partial x_i} dx + \int_{\partial\Omega} u \varphi \cos(n, x_i) dS,$$

найдем искомый результат. □

**Утверждение 2.** Оператор положительно определён, если

1. Задача первого типа:  $a(x) \geq 0$ ;
2. Задача второго типа:  $a(x) \geq a_0 > 0$ ;
3. Задача третьего типа:  $a(x) \geq a_0 > 0, \sigma(x) \geq 0$  или  $a(x) \geq 0, \sigma(x) \geq \sigma_0 > 0$ .

Доказательство.

$$(Lu, u) = \int_{\Omega} \left( \sum_{i,j=1}^n a_{ij} \frac{\partial u}{\partial x_j} \frac{\partial u}{\partial x_i} + au^2 \right) dx + \underbrace{\int_{\partial\Omega} \sigma u^2 dS}_{III}.$$

Нам понадобится неравенство Фридрихса

$$\int_{\Omega} u^2 dx \leq c_1 \left( \int_{\Omega} \sum \left( \frac{\partial u}{\partial x_i} \right)^2 dx + \int_{\partial\Omega} u^2 dS \right).$$

1. Здесь работает совсем грубая оценка:

$$\int_{\Omega} \left( \sum_{i,j=1}^n a_{ij} \frac{\partial u}{\partial x_j} \frac{\partial u}{\partial x_i} + au^2 \right) dx \geq \int_{\Omega} \sum_{i,j=1}^n a_{ij} \frac{\partial u}{\partial x_j} \frac{\partial u}{\partial x_i} dx \geq k^2 \int_{\Omega} \sum_{i=1}^n \left( \frac{\partial u}{\partial x_j} \right)^2 dx \geq \frac{k^2}{c_1} \int_{\Omega} u^2 dx.$$

2. Ещё проще, как это ни странно.

$$\int_{\Omega} \left( \sum_{i,j=1}^n a_{ij} \frac{\partial u}{\partial x_j} \frac{\partial u}{\partial x_i} + au^2 \right) dx \geq a_0 \int_{\Omega} u^2 dx$$

3. Первый вариант доказывается точно так же, как для II типа, а второй:

$$\int_{\Omega} \left( \sum_{i,j=1}^n a_{ij} \frac{\partial u}{\partial x_j} \frac{\partial u}{\partial x_i} + au^2 \right) dx + \int_{\partial\Omega} \sigma u^2 dS \geq k^2 \int_{\Omega} \sum_{i=1}^n \left( \frac{\partial u}{\partial x_j} \right)^2 dx + \sigma_0 \int_{\partial\Omega} u^2 dS \geq \frac{\min(k^2, \sigma_0)}{c_1} \int_{\Omega} u^2 dx.$$

□

Замечание 1. Можно доказать, что эта энергетическая норма эквивалентна норме в  $W_2^1(\Omega)$ :

$$\|v\|_{W_2^1}^2 = \int_{\Omega} \left( \sum \left( \frac{\partial u}{\partial x_i} \right)^2 + u^2 \right) dx.$$

Энергетическое пространство для II и III типов совпадёт с  $W_2^1$ , а для типа I унаследует граничное условие и будет состоять из элементов  $W_2^1$ , обращающихся в ноль на границе.

Замечание 2. Вообще всё это очень похоже на обычную краевую задачу, только многомерную. При подборе базиса  $\{\varphi_k\}$  для метода Ритца в задаче I типа нужно как-то заставить  $\varphi_k$  обращаться в ноль на границе области  $\Omega$ , которая может быть некрасивой. Чтобы это сделать, можно найти функцию  $\omega(x, y)$  — это на плоскости — которая положительна в  $\Omega$  и равна нулю на границе. Читатель сможет придумать такие функции для квадрата/круга/сектора круга, но вообще это, видимо, искусство.

По поводу этого билета стоит заглянуть в книгу [?].

# 5 Уравнения в частных производных

## § 1. Разностный метод для общего уравнения теплопроводности, явная схема

Определение 1. Общее уравнение теплопроводности выглядит вот так:

$$\frac{\partial u}{\partial t} = a_0 \frac{\partial^2 u}{\partial x^2} + a_1 \frac{\partial u}{\partial x} + a_2 u + f.$$

Функции  $a_i$  и  $f$  зависят от  $x$  и  $t$ .

Работать будем, как всегда, на отрезке  $[a, b]$ ; временной отрезок будет  $[0, T]$ .

Определение 2. У уравнения теплопроводности бывает начальное условие:

$$u(x, 0) = \varphi(x),$$

а также три типа граничных условий

1.  $u(a, t) = \psi_0(t), u(b, t) = \psi_1(t)$ .
2.  $\frac{\partial u}{\partial x}(a, t) = \psi_0(t), \frac{\partial u}{\partial x}(b, t) = \psi_1(t)$ .
3.  $\frac{\partial u}{\partial x} - \alpha u|_{x=a} = \psi_0(t), \frac{\partial u}{\partial x} - \beta u|_{x=b} = \psi_1(t)$ .

Сетка характеризуется такими же, как обычно, величинами:

$$x_i = a + ih, \quad h = \frac{b-a}{n}, \quad i \in 0 \dots n;$$

$$t_k = k\tau, \quad \tau = \frac{T}{M}, \quad k \in 0 \dots M.$$

Положим  $u_i^k = u(x_i, t_k)$  и

$$Lu = a_0 \frac{\partial^2 u}{\partial x^2} + a_1 \frac{\partial u}{\partial x} + a_2 u.$$

Тогда

$$(\tilde{L}u)_i^k = a_0 \frac{u_{i+1}^k - 2u_i^k + u_{i-1}^k}{h^2} + a_1 \frac{u_{i+1}^k - u_{i-1}^k}{2h} + a_2 u_i^k.$$

Есть два варианта для производной по времени:

$$\text{A: } \frac{\partial u}{\partial t}(x_i, t_k) \approx \frac{u_i^{k+1} - u_i^k}{\tau},$$

$$\text{B: } \frac{\partial u}{\partial t}(x_i, t_k) \approx \frac{u_i^k - u_i^{k-1}}{\tau}.$$

Для варианта А получается

$$\boxed{\frac{u_i^{k+1} - u_i^k}{\tau} = \tilde{L}u_i^k + f(x_i, t_k)}.$$

Это простейшая явная схема.

В таком виде уравнения можно писать для  $i \in 1 \dots n-1, k \in 0 \dots M-1$ ; нужны дополнительные с граничными условиями.

забыли

Рис. 5.1: Простейшая явная схема для уравнения теплопроводности.

- Начальные условия:  $u_i^0 = \varphi(x_i)$ .
- Граничные условия:
  1.  $u_0^k = \alpha_1(t_k)$ ,  $u_n^k = \alpha_2(t_k)$ ; при этом выполняются условия согласования нулевого порядка

$$\varphi(a) = \alpha_1(0), \quad \varphi(b) = \alpha_2(0).$$

2. Для типов II, III используются такие же трюки, как в обычных диффурах. Надо аппроксимировать производные. Можно применять метод фиктивных точек или метод исключения главного члена погрешности.

В угловых точках снова возникнет два разных условия:

$$u_0^0 = \varphi(a) \text{ и } \frac{\partial u}{\partial x}(a, 0) = \beta_1(0)u_0^0 + \alpha_1(0).$$

Будет ли выполняться равенство

$$\varphi'(a) = \beta_1(0)u_0^0 + \alpha_1(0)?$$

Оно называется *условием согласования I порядка*. Без него уравнения не станут формально противоречивы.

Если разрешить уравнения относительно  $u_i^{k+1}$ , получится

$$u_i^{k+1} = A_i^k u_{i-1}^k + B_i^k u_i^k + C_i^k u_{i+1}^k + D_i^k.$$

Коэффициенты выражаются по формулам

$$\begin{aligned} A_i^k &= \sigma a_0 - \sigma a_1 \frac{h}{2}, & C_i^k &= \sigma a_0 + \sigma \frac{h}{2} a_1, \\ B_i^k &= 1 - 2\sigma a_0 + \tau a_2, & D_i^k &= \tau f(x_i, t_k), \end{aligned}$$

где  $\sigma = \frac{\tau}{h^2}$ .

Можно просто двигаться вперёд по *слоям* — множествам точек с постоянным временем; значения находятся последовательно.

# А Введение в функциональный анализ

## § 1. Пространства, отображения

Бесконечномерные пространства во многом похожи на конечномерные, но есть и различия. Приведём наглядный пример:

**Теорема 1.** (Рисса) В бесконечномерном пространстве с нормой единичный замкнутый шар не компактен.<sup>2</sup>

*Доказательство.* Чтобы доказать, что что-то не компактно, нужно найти там последовательность, у которой нет сходящейся подпоследовательности. Здесь это нетрудно: подойдёт любой счётный ортонормированный набор векторов!

Представьте себе: у вас есть  $n$  единичных ортогональных друг другу векторов. Вы можете добавить ещё один, и ещё, и ещё... Конечно, в такой последовательности не выбрать сходящейся.  $\square$

В том, что касается линейных отображений, тоже есть тонкости. Мы знаем, что любое линейное отображение конечномерных пространств непрерывно и *ограничено* (т.е. образ единичного замкнутого шара при нём ограничен). В бесконечномерном случае это не так! Однако выполняется такое утверждение:

**Утверждение 1.** Для нормированных пространств непрерывность и ограниченность линейных отображений равносильны.

В реальности почти все интересные отображения ограничены. Да и у неограниченных слишком плохие свойства, поэтому в большинстве теорем ограниченность предполагается.

*Замечание 1.* Будем все гильбертовы пространства считать *сепарабельными*. Это по сути равносильно тому, что в них есть счётный базис.

## § 2. Пара фактов про гильбертовы пространства

*Замечание 1.* В бесконечномерных пространствах не все подпространства замкнуты; в частности, там бывают всюду плотные подпространства (как, например, многочлены в пространстве непрерывных функций). Об этом не стоит забывать.

Оказывается, в гильбертовых пространствах ортогональные дополнения устроены почти так же, как и в конечномерной ситуации.

**Утверждение 1.** Ортогональное дополнение любого множества является замкнутым линейным подпространством. Если  $A \subset H$  — замкнутое линейное подпространство, то  $H = A \oplus A^\perp$ .

Этот факт используется для того, чтобы доказать теорему Рисса: линейные функционалы в гильбертовом пространстве — просто скалярные умножения на какие-то вектора.

**Теорема 1** (Рисс). Пусть  $H$  — гильбертово пространство. Тогда каждый вектор  $e$  задаёт ограниченный функционал  $f_e: H \rightarrow \mathbb{C}$  по правилу  $x \mapsto (x, e)$ , и каждый ограниченный функционал на  $H$  есть  $f_e$  для некоторого однозначно определённого вектора  $e \in H$ . Определённая этим биекция  $H \rightarrow H^*$  есть сопряжённо-линейный изометрический изоморфизм нормированных пространств.

<sup>2</sup>Верно и обратное утверждение: если в нормированном пространстве единичный замкнутый шар компактен, то оно конечномерно.

### § 3. Спектр оператора

Ещё одно различие, не столь наглядное, но очень важное, связано со *спектром* оператора.

**Определение 1.** Пусть  $H$  — гильбертово пространство,  $A: H \rightarrow H$  — ограниченный оператор. *Спектром*  $A$  называют множество таких  $\lambda \in \mathbb{C}$ , что оператор  $A - \lambda I$  необратим.

Понятие спектра тесно связано с собственными числами:

**Определение 2.** Говорят, что  $\lambda \in \mathbb{C}$  — *собственное число* оператора  $A$ , если есть такой вектор  $v \in H$ , что  $Av = \lambda v$ .

Собственные числа можно охарактеризовать в терминах оператора  $A - \lambda I$ :

**Утверждение 1.**  $\lambda$  — собственное число  $A$  тогда и только тогда, когда оператор  $A - \lambda I$  не инъективен (то есть склеивает какие-то векторы в один).

*Доказательство.* Пусть  $\lambda$  — собственное число,  $v$  — собственный вектор. Тогда  $(A - \lambda I)v = 0 = Av$ , поэтому оператор не инъективен.

Докажем в обратную сторону. Пусть оператор  $A - \lambda I$  не инъективен. Тогда есть вектор из ядра — такой, что  $(A - \lambda I)v = 0$ , т.е.  $Av = \lambda v$ .  $\square$

Отсюда сразу следует утверждение:

**Утверждение 2.** Для конечномерных пространств спектр и множество собственных чисел — одно и то же.

*Доказательство.* Как мы знаем,

$$\text{необратимость} \Leftrightarrow \text{неинъективность или несюръективность.}$$

Но в конечномерном случае

$$\text{несюръективность} \Rightarrow \text{неинъективность.}$$

Это связано с тем, что несюръективный оператор понижает размерность пространства, что вынуждает его склеивать векторы.

Поэтому необратимость либо сразу влечёт неинъективность, либо сначала влечёт несюръективность, а потом уже неинъективность. Отсюда

$$\text{необратимость} \Leftrightarrow \text{неинъективность,}$$

что и требовалось доказать.  $\square$

В бесконечномерном случае всё не так. Из необратимости неинъективность больше не следует, и у оператора появляются два разных способа быть необратимым:

1. Оператор склеивает векторы.
2. Образ оператора меньше, чем всё пространство.

Поэтому спектр оператора  $A$  в бесконечномерном пространстве разбивается на собственные числа и те точки, в которых  $A - \lambda I$  не является сюръективным (хоть и векторы не склеивает).

*Замечание 1.* Это не мифическая ситуация: обычный оператор умножения на координату (т.е.  $Af(x) = xf(x)$ ) в  $L^2([a, b])$  не имеет собственных чисел, но его спектр равен всему отрезку!

Когда мы занимались квантовой механикой, мы находили «собственные вектора» — дельта-функции. То, что они на самом деле не функции и в  $L^2$  не лежат — свидетельство описанного феномена!



## § 4. Компактные операторы

Обсудим один класс операторов, очень полезный на практике.

**Определение 1.** Пусть  $H$  — гильбертово пространство,  $B$  — единичный замкнутый шар в нём. Оператор  $A: H \rightarrow H$  называют *компактным*, если замыкание множества  $A(B)$  компактно.

**Замечание 1.** На самом деле, компактный оператор переводит любое ограниченное множество в множество с компактным замыканием.

Мы знаем, что даже единичный шар в  $H$  не компактен. Это значит, что  $A$  — оператор с очень маленьким образом, он сжимает всё пространство во что-то крохотное! Это объясняет простоту (и близость к конечномерию) свойств компактных операторов.

**Утверждение 1.** Если операторы  $A_n$  компактны и  $\|A_n - A\| \rightarrow 0$ , то оператор  $A$  компактен.

**Следствие 1.** Если операторы  $A_n$  конечного ранга (т.е. их образы конечномерны), и  $\|A - A_n\| \rightarrow 0$ , то оператор  $A$  компактен.

Главный пример компактного оператора — *интегральный оператор*.

**Пример 1.** Пусть  $\square = [a, b] \times [a, b]$ . Рассмотрим оператор  $A$  на  $L^2([a, b])$ , действующий по правилу

$$Af(x) = \int_a^b K(x, y)f(y) dy,$$

где  $K \in L^2(\square)$ . Такой оператор называют *интегральным*, а функцию  $K$  называют его *ядром*. В принципе, вместо  $L^2$  можно жить в  $C$  — пространстве непрерывных функций, но оно не гильбертово.

**Утверждение 2.** Интегральный оператор компактен.

*Почти доказательство.* Разложим функцию  $K$  по базису (так можно, правда):

$$K(x, y) = \sum_{n, m=0}^{\infty} c_{nm} e_n(x) e_m(y).$$

Рассмотрим последовательность интегральных операторов  $A_N$  с ядрами

$$K_N(x, y) = \sum_{n, m=0}^N c_{nm} e_n(x) e_m(y).$$

Простым преобразованием находим, что

$$A_N f(x) = \sum_{n=1}^N \left( \sum_{m=1}^N c_{nm} \int_a^b e_m(y) f(y) dy \right) e_n(x).$$

Образ оператора  $A_N$  находится внутри линейной оболочки векторов  $e_1, \dots, e_N$ ! Это значит, что наш оператор  $A$  приближается операторами конечного ранга, а потому компактен.  $\square$

## § 5. Спектры компактных операторов

Спектр компактного оператора обладает замечательным свойством:

**Утверждение 1.** Пусть  $A$  — компактный оператор. Для любого  $\delta > 0$  множество собственных чисел  $A$  таких, что  $|\lambda| \geq \delta$  конечно. Собственное пространство любого  $\lambda \neq 0$  конечномерно.

Спектр произвольного самосопряжённого оператора, с другой стороны, обладает такими свойствами:

**Утверждение 2.**

1. Собственные значения самосопряжённого оператора вещественны.
2. Собственные векторы самосопряжённого оператора, отвечающие разным собственным значениям, ортогональны.

Для операторов, одновременно компактных и самосопряжённых, удаётся доказать вариант *спектральной теоремы* — бесконечномерного аналога утверждения о том, что симметричную матрицу можно привести к диагональному виду:

**Теорема 1 (Гильберта-Шмидта).** Пусть  $A$  — компактный и самосопряжённый оператор в гильбертовом пространстве  $H$ . Существует ортогональный базис  $\{e_i\}$ , состоящий из собственных векторов  $A$ .

## § 6. Альтернатива Фредгольма

**Определение 1.** *Фредгольмовым* называют такой оператор  $T$  на гильбертовом пространстве, что  $T = I - A$ , где  $A$  компактен.

**Утверждение 1.** Сопряжённый к компактному оператор компактен.

**Теорема 1 (Альтернатива Фредгольма).**

1. Уравнение  $T\varphi = f$  разрешимо тогда и только тогда, когда  $f$  ортогонально любому решению уравнения  $T^*\psi_0 = 0$ .
2. Либо уравнение  $T\varphi = f$  имеет при любом  $f$  ровно одно решение, либо уравнение  $T\varphi_0$  имеет ненулевое решение.
3. Уравнения  $T^*\psi_0 = 0$  и  $T\varphi_0 = 0$  имеют одно и то же конечное число линейно независимых решений.

**Замечание 1.** Эту теорему называют *альтернативой*, потому что трудно вынести безальтернативность приближения сдачи вычей. Представьте себе, что вы смотрите на уравнение  $T\varphi = f$ . Есть два варианта:

1. Уравнение  $T\varphi_0$  не имеет ненулевых решений, и ваша задача разрешима единственным способом. Всё прекрасно!
2. Оно их таки имеет, и всё не столь прекрасно.

Пусть вы попали во второй вариант. Снова выбор:

1.  $f$  ортогонально всем решениям уравнения  $T^*\psi_0 = 0$  (которые теперь уже точно есть по третьему пункту). Тогда ваша задача разрешима, но не одним способом (видимо, их будет бесконечно много).
2.  $f$  не такое. Тогда ваша задача неразрешима.

## В Обозначения